

**INSTITUTO FEDERAL DE EDUCAÇÃO, CIÊNCIA E TECNOLOGIA DE
SANTA CATARINA - CÂMPUS FLORIANÓPOLIS
DEPARTAMENTO ACADÊMICO DE METAL-MECÂNICA
CURSO DE GRADUAÇÃO EM ENGENHARIA MECATRÔNICA**

DANIEL RICHARTZ

**DESENVOLVIMENTO DE PROGRAMA DE CONSTRUÇÃO DE IMAGEM OBTIDA
POR MEIO DE APARELHOS DE TOMOGRAFIA DE IMPEDÂNCIA**

FLORIANÓPOLIS, 2022.

**INSTITUTO FEDERAL DE EDUCAÇÃO, CIÊNCIA E TECNOLOGIA DE
SANTA CATARINA - CÂMPUS FLORIANÓPOLIS
DEPARTAMENTO ACADÊMICO DE METAL-MECÂNICA
CURSO DE GRADUAÇÃO EM ENGENHARIA MECATRÔNICA**

DANIEL RICHARTZ

**DESENVOLVIMENTO DE PROGRAMA DE CONSTRUÇÃO DE IMAGEM OBTIDA
POR MEIO DE APARELHOS DE TOMOGRAFIA DE IMPEDÂNCIA**

Trabalho de Conclusão de Curso submetido
ao Instituto Federal de Educação, Ciência
e Tecnologia de Santa Catarina como parte
dos requisitos para obtenção do título de
Engenheiro Mecatrônico

Orientador:
Prof. Adriano Regis, Msc.

FLORIANÓPOLIS, 2022.

Ficha de identificação da obra elaborada pelo autor.

Richartz, Daniel
DESENVOLVIMENTO DE PROGRAMA DE CONSTRUÇÃO DE IMAGEM
OBTIDA OBTIDA POR OBTIDA POR MEIO OBTIDA POR
MEIO DE APARELHOS OBTIDA POR MEIO DE APARELHOS OBTIDA
POR MEIO DE APARELHOS DE TOMOGRAFIA OBTIDA POR
MEIO DE APARELHOS DE TOMOGRAFIA OBTIDA POR MEIO
DE APARELHOS DE TOMOGRAFIA DE IMPEDÂNCIA OBTIDA
Trabalho de Conclusão de Curso (TCC) - Instituto Federal
de Santa Catarina, Câmpus Florianópolis. Bacharelado
em Engenharia Mecatrônica. Departamento
Acadêmico de Metal Mecânica.
Inclui Referências.

1. TIE. 2. Sistemas Embarcados. 3. Processamento
De Imagem. 4. Engenharia Mecatrônica. 5. Raspberry. I.
Regis, Adriano. II. Instituto Federal de Santa Catarina.
III. DESENVOLVIMENTO DE PROGRAMA DE CONSTRUÇÃO
DE IMAGEM OBTIDA OBTIDA POR OBTIDA POR MEIO OBTIDA POR
MEIO DE APARELHOS OBTIDA POR MEIO DE APARELHOS

**DESENVOLVIMENTO DE PROGRAMA DE CONSTRUÇÃO DE
IMAGEM OBTIDA POR MEIO DE APARELHOS DE TOMOGRAFIA DE
IMPEDÂNCIA**

DANIEL RICHARTZ

Este trabalho foi julgado adequado para obtenção do título de Engenheiro Mecatrônico e aprovado na sua forma final pela banca examinadora do Curso Superior de Engenharia Mecatrônica do Instituto Federal de Educação, Ciência e Tecnologia de Santa Catarina.

Florianópolis, 19 de julho, 2022.

Banca Examinadora:

Adriano Regis, Msc.

Francisco Rafael Moreira da Mota, Dr.

Francisco Edson Nogueira De Melo, Me.

A todos que fizeram parte dessa jornada,
em especial minha família e amigos.

AGRADECIMENTOS

Durante a jornada que está para se encerrar, inúmeras são as pessoas ao qual agradeço por participarem e me fornecerem esse momento tão aguardado por muitos anos em minha vida.

Primeiramente agradecer a Deus e a todos de minha família, minha mãe por ser essa mulher maravilhosa que sempre me apoiou e me escutou, meu pai por comprar meu primeiro Arduino e a culpada por me apresentar a engenharia, minha irmã, que tanto amo, por todos os momentos de suporte que me deram e que possibilitaram chegar aqui, meu muito obrigado. Ainda me lembro do dia em que contei para vocês que entrei na faculdade, lembro do olhar de vocês com um sorriso no rosto e os olhos cheios de lágrimas de felicidade.

Agradeço a todos os colegas que fizeram parte dessa jornada nos últimos anos, vocês farão parte das melhores lembranças de minha vida. Me lembro das nossas colaborações ao estudar, e acreditem, vocês fizeram surgir uma versão minha que eu desconhecia.

Gostaria de agradecer as pessoas que se tornaram parte de minha vida, não somente dentro da faculdade, mas fora dela, aos meus amigos Tarcísio, Everton, Leonardo e Mikael, por suportarem minhas crises existenciais e me mostrarem que sou mais capaz do que imagino.

Agradecer a Duda e Luíza, pelos abraços que me deram quando estava desacreditado de mim mesmo, e um muito obrigado a minha chefe Maria, que sempre que precisei, me liberou e possibilitou vários momentos para eu realizar o presente trabalho, além de acreditar em mim.

Aos colegas de turma Bruno, João, Luca, Ingon e Ellen, uma verdadeira quadrilha que sempre me fez rir nos momentos que eu não poderia, alegrando meu dia. Aos colegas Matheus, Pedro, Lucas e Arthur, por sempre mostrarem pontos de vista diferentes e apresentarem um mundo muito mais tranquilo e feliz. Agradeço também a todos os demais colegas de grupos de pesquisa e amizades que encontrei ao longo desta jornada, por me fornecerem a possibilidade de compartilhar um pouco de suas experiências comigo.

Por último, mas não menos importante, a todos os professores do IFSC que me forneceram a solida base para esse momento, em especial meu orientador Adriano Regis, pela orientação no TCC e na vida, ao professor Francisco Mota por sanar dúvidas de forma eficaz e ao Jeremias Stein por ser um excelente professor.

"A lealdade é uma via de mão dupla"
Harvey Specter

RESUMO

Para os profissionais da área de saúde, é de suma importância a capacidade de identificar e visualizar regiões do corpo humano em busca de possíveis variações que possam comprometer o bem estar do paciente. No entanto, nem todas as partes vitais do corpo humano são de fácil observação, como os pulmões, sendo necessário o uso de aparelhos de tomografia, capazes de visualizar estruturas anatômicas por meio de radiografia. Aparelhos esses que são caros e emitem radiação, o que impede o uso contínuo em pacientes em seus leitos. Uma solução para aparelhos que possam ser utilizados continuamente em leitos de UTI, são EIT, Electrical Impedance Tomography, ou traduzindo tomografia por impedância elétrica conhecido pela sigla TIE. Esses aparelhos têm a possibilidade de serem utilizados de forma contínua, seu funcionamento se dá através de correntes elétricas que percorrem o corpo do indivíduo, que retorna ao aparelho com variações de intensidade. Esse trabalho tem como objetivo o desenvolvimento do *software* de reconstrução de imagem, de forma a possibilitar a visualização de dados obtidos por aparelhos de tomografias de impedância, aplicando o *software* a sistemas embarcados.

Palavras-chave:TIE, Sistemas Embarcados,Processamento de Imagem, Engenharia Mecatrônica, Raspberry.

ABSTRACT

For professionals, it is extremely important to be able to identify and visualize the regions of the body in search of inclusion possibilities that are easily accessible to humans, not all vital parts of the health body. observation, such as the lungs, requiring the use of imaging and imaging devices, visualization through radiography structures. Devices that are expensive and emit radiation, or that prevent continued use on patients in their beds. A solution for devices that can be used continuously in ICU beds, EIT, Electrical Imped Tomography, or translating replacement by electrical impedance known by the acronym TIE. These devices have the possibility of being used continuously, their operation takes place through electric currents that travel through the individual's body, which return to the device with variations in intensity. This work aims to develop the *software* Image orientation, ie a display of enabling data protection devices impedance, applying *software* to embedded systems.

Keywords:TIE, Embedded Systems, Image Processing, Mechatronics Engineering, Raspberry.

LISTA DE FIGURAS

Figura 1 – Representação leitura TIE	18
Figura 2 – Métodos	20
Figura 3 – GPIO Raspberry pi 3 B	25
Figura 4 – Ambiente de desenvolvimento do VSCode	27
Figura 5 – Ambiente de desenvolvimento do Arduino IDE	27
Figura 6 – Ambiente de desenvolvimento do QTcreator livre	28
Figura 7 – GPIO Arduino due	29
Figura 8 – Conexão mestre escravos SPI	30
Figura 9 – Sinais SPI simples comunicação	31
Figura 10 – Fonte de corrente com INA105	32
Figura 11 – Amplificador de instrumentação com integrador5	33
Figura 12 – Circuito de aquisição de sinais do sensor	33
Figura 13 – modelo de fluxo de dados	34
Figura 14 – Modelo de fluxo de dados utilizado	35
Figura 15 – Fluxograma programa Arduino due	37
Figura 16 – Fluxograma aquisição de dados Raspberry	38
Figura 17 – Entrada de dados LBP	39
Figura 18 – Fluxograma cálculo Retroprojeção linear	40
Figura 19 – Fluxograma cálculo Landweber	41
Figura 20 – Fluxograma reconstrução da imagem	43
Figura 21 – Montagem para testes	44
Figura 22 – Interface em funcionamento no raspbian	45
Figura 23 – Interface principal	46
Figura 24 – Demonstração de reconstrução	46
Figura 25 – Interface Obter dados	47
Figura 26 – Leitura em andamento	47
Figura 27 – Leitura finalizada	48
Figura 28 – Montagem tensão variável	49
Figura 29 – Etapas de criação da malha (a) Primeiro triângulo (b) Segundo triângulo (c) Terceiro triângulo	50
Figura 30 – Comparação vetor objeto 1 com Landwaber 100 interações	51
Figura 31 – Comparação vetor objeto 1 com retroprojeção linear	51
Figura 32 – Comparação vetor objeto 2 com Landwaber 100 interações	52
Figura 33 – Comparação vetor objeto 2 com retroprojeção linear	52

LISTA DE QUADROS

LISTA DE TABELAS

Tabela 1 – Funções dos multiplexadores	31
Tabela 2 – Comando o protocolo SPI	36
Tabela 3 – Tabela de tensões lidas	50

LISTA DE ABREVIATURAS E SIGLAS

AD	Analógico digital
ARM	Advanced RISC Machine
CAN	Controller Area Network
FPGA	Field programmable gate array
GND	Graduated neutral density filter
GPIO	General Purpose Input/Output
HEX	Hexadecimais
I2C	Inter-Integrated Circuit
IDE	Integrated Development Environment
INCA	Instituto Nacional do Câncer
LBP	Linear Back-Projection
OpenCV	Open Computer Vision
RGB	Red,Green,Blue
SPI	Serial Peripheral Interface
TIE	Tomografia por impedância elétrica
VSCode	Visual Studio Code

SUMÁRIO

1	INTRODUÇÃO	15
1.1	Justificativa	15
1.2	Objetivo Geral	16
1.2.1	Principal	16
1.2.2	Objetivos Específicos	16
1.3	Estrutura do Trabalho	16
2	FUNDAMENTAÇÃO TEÓRICA	17
2.1	Tomografia por impedância	18
2.2	Impedância elétrica	19
2.3	Matriz sensibilidade	19
2.4	Modelos de aquisição	20
2.5	Trabalhos correlatos	20
2.6	Reconstrução da imagem	21
2.7	Algoritmo de retroprojeção linear	22
2.8	Algoritmo de Landweber	22
2.9	Eletrodos	24
3	MATERIAS E MÉTODOS	25
3.1	Raspberry pi 3b	25
3.2	Python	26
3.3	Bibliotecas de programação	26
3.4	Ambiente de desenvolvimento	26
3.5	Arduino due	28
3.6	SPI	29
3.7	Hardware	31
3.7.1	Círculo de excitação	32
3.7.2	Aquisição de sinais	32
3.8	Arquitetura	34
3.9	Aquisição de dados	35
3.9.1	Comandos SPI	36
3.9.2	Gerenciamento eletrodos via Raspberry pi	37
3.10	Algoritmo de reconstrução	39
3.10.1	Retroprojeção linear	39
3.10.2	Método interativo de Landwaber	40
3.11	Reconstrução da imagem	41
3.12	Discretização da imagem	43
4	APRESENTAÇÃO DOS RESULTADOS	44
4.1	Interface com o usuário	44
4.2	Teste de acionamento dos multiplexadores	48
4.3	Testes de aquisição	48
4.4	Representação tomográfica	50
4.5	Reconstrução da imagem	50
4.6	Análise e discussão dos resultados	52
5	CONSIDERAÇÕES FINAIS	54
5.1	Sugestões para trabalhos futuros	54

REFERÊNCIAS	55
APÊNDICES	58
APÊNDICE A – CÓDIGO RASPBERRY PI	59
APÊNDICE B – CÓDIGO ARDUINO	77
ANEXOS	87

1 INTRODUÇÃO

A tomografia computadorizada segundo Morsch (2022), é um exame semelhante ao raio X, utilizado para obtenção de imagens internas do paciente, produzindo diversas imagens transversais que, após serem processadas, geram imagens possíveis de serem analisadas pelos profissionais de saúde. Esse exame tem como objetivo agilizar o diagnóstico de forma não invasiva, no entanto, assim como no raio X, os aparelhos utilizam de radiação ionizante que, segundo o Instituto Nacional do Câncer INCA (2022), tem a capacidade de realizar danos às cadeias do DNA, e podem contribuir, com a exposição por longos períodos, ao desenvolvimento de câncer. Por isso, esse método não pode ser utilizado em regimes permanentes pelos pacientes, além de serem máquinas enormes e que demandam uma estrutura especializada para a sua utilização.

Para Singh et al (2019), uma solução que se vem mostrando promissora é a TIE, ou tomografia de impedância elétrica. Essa técnica consiste na aplicação de potenciais elétricas através do corpo por meio de múltiplos eletrodos dispostos no corpo do paciente. Ao obter os dados o equipamento os envia para a unidade de processamento que possui um *software* capaz de realizar cálculos complexos e, a partir dos resultados, reconstruir uma imagem que traduz visualmente o interior do corpo humano.

As primeiras utilizações do método segundo RIBEIRO (2017) “foram obtidas com o protótipo desenvolvido por Brown et al. (1985), do Departamento de Física Médica e Engenharia Clínica da Universidade de Sheffield (Reino Unido).” Nesse primeiro protótipo as imagens geradas eram de baixa qualidade, porém foi possível validar e dar início para desenvolver o método.

O presente trabalho, busca realizar o desenvolvimento de *software* de reconstrução de imagem para ser utilizado em plataformas embarcadas, de forma a possibilitar atualizações e melhorias constantes, ainda sim permitir a integração com diversos sensores de tomografia por impedância elétrica.

1.1 Justificativa

Ao utilizar tecnologias TIE, são necessários *softwares* capazes de realizar o processamento dos dados obtidos, com o objetivo de apresentar ao profissional de saúde de forma visual e fácil interpretação. Os sistemas embarcados tem como objetivo gerar uma maior disponibilidade ao acesso, assim como, facilidade em levar aparelhos TIE para diversas localidades e viabilizando a construção em diversas plataformas existentes no mercado atual.

Este trabalho inicia discussões do desenvolvimento de *softwares* que pos-

sam realizar esse processamento utilizando sistemas embarcados, uma vez que esse nicho ainda é pouco explorado.

1.2 Objetivo Geral

Os objetivos neste trabalho estão separados em principal, englobando o aspecto geral do desenvolvimento, e em específico, informando objetivos que proporcionaram o desenvolvimento completo do projeto

1.2.1 Principal

O objetivo principal do projeto é o desenvolvimento de um software de reconstrução de imagem para aparelhos de tomografia por impedância, possível de ser implementado em plataformas embarcadas como a Raspberry pi.

1.2.2 Objetivos Específicos

Os objetivos específicos são:

- Demonstrar o uso de plataformas embarcadas para a utilização na saúde;
- Vincular conhecimentos adquiridos na engenharia com aplicações relacionadas à medicina;
- Desenvolver um programa base que possa ser reutilizado e melhorado ao longo do tempo;
- Utilizar de linguagens de programação que tornem o processo de desenvolvimento eficiente e possuam vasta documentação disponível.

1.3 Estrutura do Trabalho

O trabalho foi dividido em fundamentação teórica com o embasamento do método a ser apresentado, materiais e métodos apresentando as ferramentas que foram utilizadas assim como a lógica de implementação, apresentação dos resultados com os resultados obtidos a partir de matérias e métodos e por último considerações finais com os resultados e discussões finais, assim como, possíveis trabalhos futuros.

2 FUNDAMENTAÇÃO TEÓRICA

Segundo Perlin e Pinto (2013), tomografia é a composição de duas palavras gregas, sendo *tomo* que significa “corte” e *grafia* que significa “imagem”, tomografia pode ser descrita como a composição de imagens por cortes. O início do desenvolvimento se deu com os trabalhos do físico alemão Conrad Röntgen, quando seus trabalhos com radiação no ano de 1895 geraram o exame de raio X. A partir desse exame era possível realizar a primeira visualização interna de um corpo, no entanto, demonstrava um corpo físico tridimensional em somente duas, era necessário um método de transformar projeções bidimensionais em objetos complexos tridimensionais.

Os estudos que relacionam a reconstrução de objetos por meio de equações, são os trabalhos do matemático Johann Radon, no início do século XX na Áustria, que possuíam como objetivo mostrar a capacidade de descrever objetos tridimensionais realizando composições de projeções bidimensionais em múltiplos ângulos. As equações desse estudo foram denominadas de transformada de Radon.

Como comentado por Carvalho *et al.* (2007), ambos os estudos, de Radon e Röntgen, foram as bases para os estudos desenvolvidos a partir dos anos 50 no campo de reconstrução de imagem, que com o advento da computação nos anos seguintes e entrada de cena o engenheiro Hounsfield em conjunto com o Dr. James Ambrose, aplicando algoritmos de reconstrução de imagens ao raio X, apresentaram em 1972 um novo método, reconstruindo imagens tridimensionais com base em projeções bidimensionais.

Esse método foi a base para o desenvolvimento de diversos técnicas, que não se restringiram somente ao meio médico mas se aplicando em outros setores, utilizando múltiplas formas de conceber as imagens, como descrito por Perlin e Pinto (2013), com a aplicação do método de tomografia por ultrassonografia, utilizando o som para a verificar a não homogeneidade em vigas de concreto e tomografia capacitiva ECT descrita por Jia, Wang e Millington (2017), como boas alternativas para a indústria pela tempo de resposta inferior aos existentes.

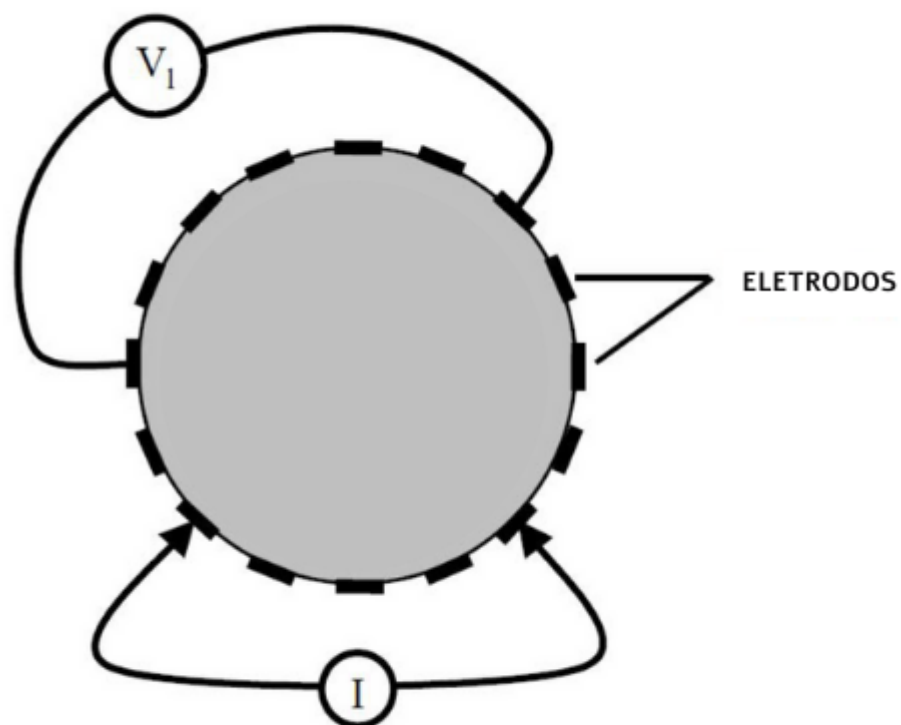
Na área médica umas das técnicas com grande atrativo, segundo Singh *et al.* (2019), é a TIE, devido a suas aplicações clínicas indo à encontrar funções cerebrais, atividade neural, hipertermia, investigações patológicas de câncer, entre outras aplicações, sendo que não utiliza radiação ionizante. Singh *et al.* (2019) relatam que essa técnica possui tempos de aquisição baixo, porém é suscetível a ruídos. Todavia sua aplicação se torna viável devido ao fato de ser consideravelmente barata e de aplicação ágil em comparação com métodos utilizados, sendo útil para monitoramentos contínuos.

2.1 Tomografia por impedância

A tomografia por impedância, TIE, segundo Arellano *et al.* (2021) consiste na aplicação de uma baixa corrente elétrica com o intuito de gerar imagem a partir da variação de impedância obtida no corpo de interesse. As aplicações desse método de tomografia abrangem aplicações médicas como detecção de câncer de mama, problemas respiratórios e monitoramento cardiovascular, aplicações industriais e no ramo da construção civil sendo aplicado no monitoramento de estruturas. Dentre os métodos de obtenção de imagem, a TIE oferece uma solução prática e de baixo custo operacional.

O método de obtenção de dados da TIE, conforme Arellano *et al.* (2021) comentam, consiste da utilização de eletrodos dispostos em uma seção transversal espaçados de forma igualitária do objeto de estudo em questão, sendo os eletrodos o meio físico para a obtenção das variações de impedância, os mesmos realizam duas funções, emissores de corrente e de leitura de tensão.

Figura 1 – Representação leitura TIE



Fonte: Adaptado Arellano *et al.* (2021).

2.2 Impedância elétrica

A impedância é descrita como a oposição à passagem de corrente, sendo essa grandeza a soma da associação de resistência, reatância e capacitância do meio por onde a corrente realiza seu percurso. O valor total de impedância em um meio é descrito pela Equação 1, sendo V a diferença de potencial, I a corrente e Z a impedância (BOLFE *et al.*, 2007).

$$Z = \frac{V}{I} \quad (1)$$

Sendo assim, tomando um valor fixo de corrente em um meio, ao medir a variação de tensão entre dois pontos é possível mensurar a impedância entre os pontos devido a variação de tensão.

2.3 Matriz sensibilidade

A matriz sensibilidade tem como intuito descrever o ganho entre as alterações que as variações de impedância dentro do campo transversal com a implementação dos eletrodos, sendo assim possível mensurar como cada eletrodo será afetado com as variações no sistema em determinado ponto da região de interesse. Para obter essa matriz é necessário realizar a discretização da seção transversal aos eletrodos com o intuito de compreender a interação dos elementos que serão introduzidos, realizando a variação dos pontos, a matriz sensibilidade podem ser obtida excitando o espaço discretizado utilizando os seguintes passos (MOTA, 2015).

- Realiza a discretização da seção transversal de forma a compreender diversos espaços menores, cada espaço discriminado de forma menor é denominado um pixel.
- Por meio de experimentação, a condutividade de um único espaço é variada, e as medidas dos eletrodos é tomada.
- O valor da condutividade no espaço discriminado é retornado ao normal.
- Por meio de um laço de repetição um próximo espaço é escolhido, até finalizar com todos espaços lidos e discriminados.

Essa forma de obtenção de variação pode ser feita por espaços discretização de diversas formas, tanto com formas bem definidas quanto em seções transversais orgânicas.

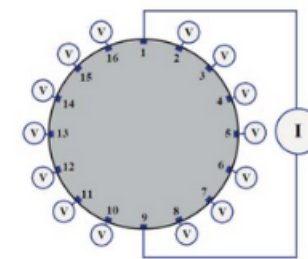
2.4 Modelos de aquisição

Assim como em qualquer método de tomografia, a aquisição dos dados é de suma importância para a reconstrução da imagem, sendo na TIE o ponto de aquisição os eletrodos. Para isso é realizada a passagem de uma corrente conhecida pelo meio, respeitando a Equação 1 da impedância elétrica total em um meio.

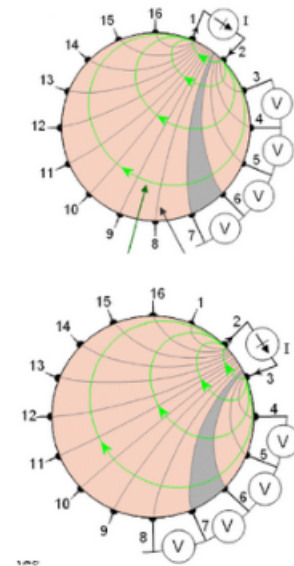
Para isso, os eletrodos realizam a função tanto de injeção de corrente quanto de leitores de tensão, existindo métodos de ordenar e ler os eletrodos. Descrevendo cada um desses métodos, Rymarczyk (2019) destaca os métodos emissores opostos e método de medição adjacente, em que o eletrodo exerce a função de injetar corrente no mensurando ou realizar a leitura da variação da tensão, tendo em vista ainda a existência de outros métodos onde o mesmo eletrodo que exerce a função de injetar corrente realizar leitura da variação de tensão. A Figura 2 mostra a leitura dos dois métodos descritos.

Figura 2 – Métodos

Método Oposto



Método Vizinhos



Fonte: Adaptado Rymarczyk (2019) e Arellano *et al.* (2021).

2.5 Trabalhos correlatos

Entre os estudos e sistemas TIE, uma série de variações de *hardware* é utilizada, tanto para comutar os eletrodos como para realizar as leituras analógicas e reconstrução da imagem. Comumente são utilizados multiplexadores para gerir as saídas, comutando qual eletrodo será destinado a leitura de tensão e qual será utilizado

para a emissão de corrente, no entanto outras formas também são utilizadas. O autor Aris (2018) utiliza de comutação utilizando relés, pois segundo o mesmo, a utilização de multiplexadores pode gerar a existência de impedâncias parasitas.

Porém, como comentado pelos autores Sohal *et al.* (2014), como o intuito é ter aquisições de forma mais rápidas e com circuitos menores tanto na parte de comutação, leitura e reconstrução de imagem, multiplexadores são alternativas viáveis assim como para compactar todo o *hardware*, utilizando de chips com arquitetura FPGA (*field programmable gate array*). Outros sistemas como o desenvolvido pelos autores Arellano *et al.* (2021), utilizam para gerenciar o multiplexador e realizar as leituras AD um Arduino mega, sendo que a reconstrução da imagem fica a cargo de um Raspberry pi, com implementação do sistema de reconstrução EIDORS, um sistema de código aberto desenvolvido para operar por meio das plataformas Octave e Matlab.

Autores como singh *et al.* (2019) utilizam o Raspberry para gerir os eletrodos e realizar as aquisições por meio de conversores AD, analógico digital, externos e posteriormente transmitem o valor digital para um computador externo. Esses autores mostram a pluralidade das formas em desenvolvimento de tecnologias TIE, sendo utilizadas diversas tecnologias.

2.6 Reconstrução da imagem

Ao introduzir um corpo no meio eletrólito de estudo, uma variação de impedância é identificada, sendo assim, possui uma divergência entre as medições de tensão entre os eletrodos com base na medida de padrão do meio sem o corpo estranho. Os dados gerados por meio dessa variação apresentam características não lineares, no entanto, se convencionar uma variação pequena nos entornos do objeto, é possível realizar a linearização para gerar uma imagem utilizando a Equação 2 (JIA *et al.*, 2021)(YANG; PENG, 2003).

$$V = S \cdot \sigma$$

(2)

sendo que V ($n \times 1$) o vetor com os valores de tensões lidas pelos eletrodos ao introduzir um objeto que provoca a variação das impedâncias, S é a matriz ($m \times n$) de sensibilidade da e σ ($n \times 1$) o vetor condutividade.

Para a reconstrução da imagem, se faz necessária uma abordagem inversa, já que a partir de valores de tensão V tem como objetivo a matriz σ , levando como premissa a linearidade do sistema para pequenas variações e equacionando a Equação 2, é possível chegar na Equação 3.

$$\sigma = S^{-1} \cdot V$$

(3)

No entanto, como S não é uma matriz quadrada, como descreve MOTA (2015) é necessário utilizar de outro método para solucionar a equação, utilizando de aproximações e métodos interativos.

2.7 Algoritmo de retroprojeção linear

A retroprojeção linear do inglês *Linear Back-Projection*, LBP, é uma técnica utilizada para a resolução da Equação 2, sendo amplamente utilizada em métodos computacionais por proporcionar velocidade de execução e ainda gerar uma aproximação muito boa do sistema real, sendo obtida aproximando a matriz S^{-1} como sendo S^T (NADA, a; DAVIDSON *et al.*, 2004). Ao realizar essa aproximação se chega a Equação 4.

$$\sigma = S^T \cdot V$$

(4)

Nessa equação, S é a matriz sensibilidade e V é o valor da variação de tensão normalizado. Por se tratar de um método direto, apresenta uma velocidade de cálculo elevada comparado a outros métodos, porém por não ser interativo, apresenta uma baixa qualidade de construção da imagem (JIA *et al.*, 2021).

2.8 Algoritmo de Landweber

Na busca de solucionar a integral de Fredholm, Landweber propôs a criação de um método interativo pois em muitos aspectos físicos, as equações se sobressaem em casos onde seria altamente desejada a realização de sucessivas aproximações. O algoritmo tem como fundamento o método gradiente descendente chegando a Equação 5 (MOTA, 2015; YANG; PENG, 2003; LANDWEBER, 1951).

:

$$\min f(\sigma) = \frac{1}{2} \|S \cdot \sigma - \lambda\|^2$$

(5)

E $f(\sigma)$ sendo descrita pela Equação 6.

$$f(\sigma) = \frac{1}{2}(\sigma^T \cdot S^T \cdot S \cdot \sigma - 2 \cdot \sigma^T \cdot S^T \cdot \sigma + \lambda^T \cdot \lambda) \quad (6)$$

O gradiente de $f(\sigma)$ pode ser definido pela Equação 7.

$$\nabla f(\sigma) = S^T \cdot (S\sigma - \lambda) \quad (7)$$

Com esse gradiente de $f(\sigma)$, a cada interação decresce mais rapidamente com uma nova direção. Dessa forma é possível expressar o algoritmo em sua forma de interações com a Equação 8.

$$\sigma_{k+1} = \sigma_k + \mu \cdot S^T \cdot (\lambda - S \cdot \sigma_k) \quad (8)$$

Sendo que σ_k é o vetor calculado anteriormente, onde μ é o fator de ganho, e pode ser obtido a partir da Equação 9 (MOTA, 2015).

$$\mu = \frac{2}{\delta max} \quad (9)$$

sendo que δmax é o maior autovalor de $S^T \cdot S$.

Um dos grandes desafios ao utilizar esse método é sua baixa taxa de convergência, sendo que para melhorar essa taxa pode se aplicar um operador de projeção sobre a equação entre as interações, nesse caso aplicando o operador F mostrado na Equação 10 (MOTA, 2015; YANG; PENG, 2003).

$$F(g(x)) = \begin{cases} 0 & \text{se } g(x) < 0 \\ g(x) & \text{se } 0 \leq g(x) \leq 1 \\ 1 & \text{se } g(x) > 1 \end{cases}$$

(10)

sendo que $g(x)$ é dado pela Equação 11.

$$g(x) = \sigma_k + \mu \cdot S^T \cdot (\lambda - S \cdot \sigma_k)$$

(11)

sendo assim, aplicando a $g(x)$ em F se tem a Equação 12

$$\sigma_{k+1} = F(g(x))$$

(12)

Sendo essa uma versão de aplicação do algoritmo de Landweber para a reconstrução de imagens por interações.

2.9 Eletrodos

A aquisição das variações de tensões, assim como a emissão de corrente ocorre por meio do auxílio de eletrodos em contato com o meio. Os eletrodos devem apresentar certas características a fim de gerar resultados precisos e satisfatórios para a leitura da variação de tensão. Entre as características estão a estabilidade do material, boa condutividade e pouco ou nenhuma reação com o meio (TAKA, 2008).

3 MATERIAS E MÉTODOS

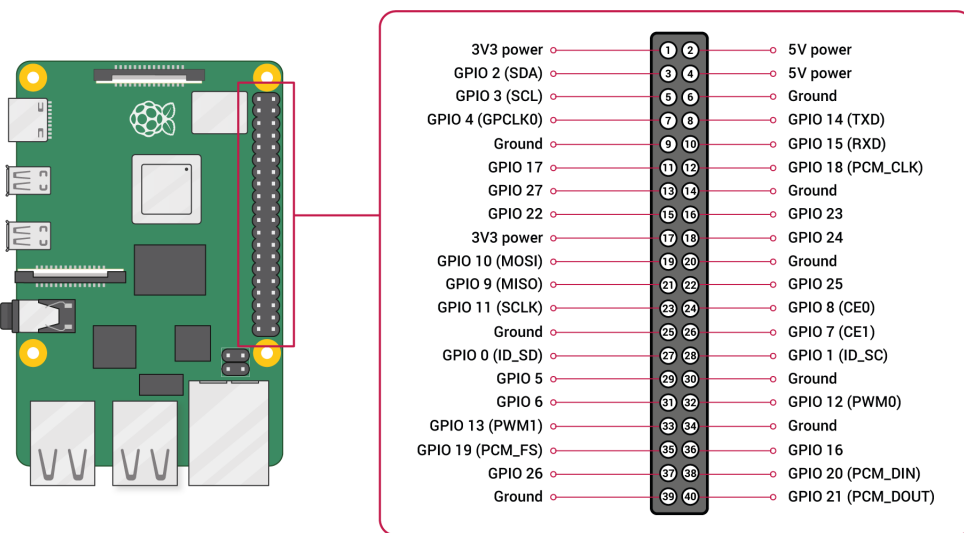
Com o intuito de realizar o desenvolvimento do programa de reconstrução de imagens, uma série de ferramentas foram selecionadas a fim de se obter a imagem reconstruída. Essas ferramentas teriam como objetivo um melhor aproveitamento e um desenvolvimento ágil. Entre as ferramentas podemos destacar o *hardware* embarcado, utilizando linguagem de programação e bibliotecas que auxiliam no desenvolvimento.

3.1 Rasberry pi 3b

Para a placa central, responsável por executar e realizar os algoritmos de reconstrução de imagens, optou-se pela utilização de uma Raspberry pi model 3 b. Sendo esse um computador de placa única, já possui processador integrado, conexão com rede ethernet, portas USB, saídas de imagem e áudio, sendo uma aplicação completa de um computador necessitando apenas de periféricos como teclado, *mouse* e monitor. O mesmo ainda possui 40 conectores sendo uma boa parte de portas lógicas programáveis conhecidas como GPIO, do inglês *General Purpose Input/Output*, permitindo realizar acionamento de periféricos, entre essas saídas ainda possuem a capacidade de integração com protocolos de comunicação com I2C, SPI e Serial (RASPERRYPI, 2022).

O Raspberry pi permite minimizar aplicações e, dessa forma, é possível tornar o sistema móvel e de baixo consumo (SINGH *et al.*, 2019). A Figura 3 representa a pinagem do raspberry pi 3 com as funções de cada pino.

Figura 3 – GPIO Raspberry pi 3 B



Fonte:raspberrypi (2022)

3.2 Python

Entre as linguagens de programação para o desenvolvimento do programa, a que apresentou um relação custo/benefício adequada foi a linguagem python, pois uma linguagem com uma rápida curva de aprendizado, capaz de rodar em múltiplas plataformas inclusive na plataforma Raspberry pi (VALLAT, 2018).

O python nos últimos anos vem ganhando sua notoriedade, devido à sua sintaxe de alto nível, tornando seu aprendizado dinâmico, sendo amplamente utilizada em diversas aplicações como aprendizado de máquina, computação científica, análise de dados e visão computacional, tudo isso junto a uma comunidade ampla com múltiplas bibliotecas e material de apoio disponível, tornando umas das linguagens mais efetivas em desenvolvimentos rápidos no meio científico e de prototipagem (RASCHKA; PATTERSON; NOLET, 2020).

3.3 Bibliotecas de programação

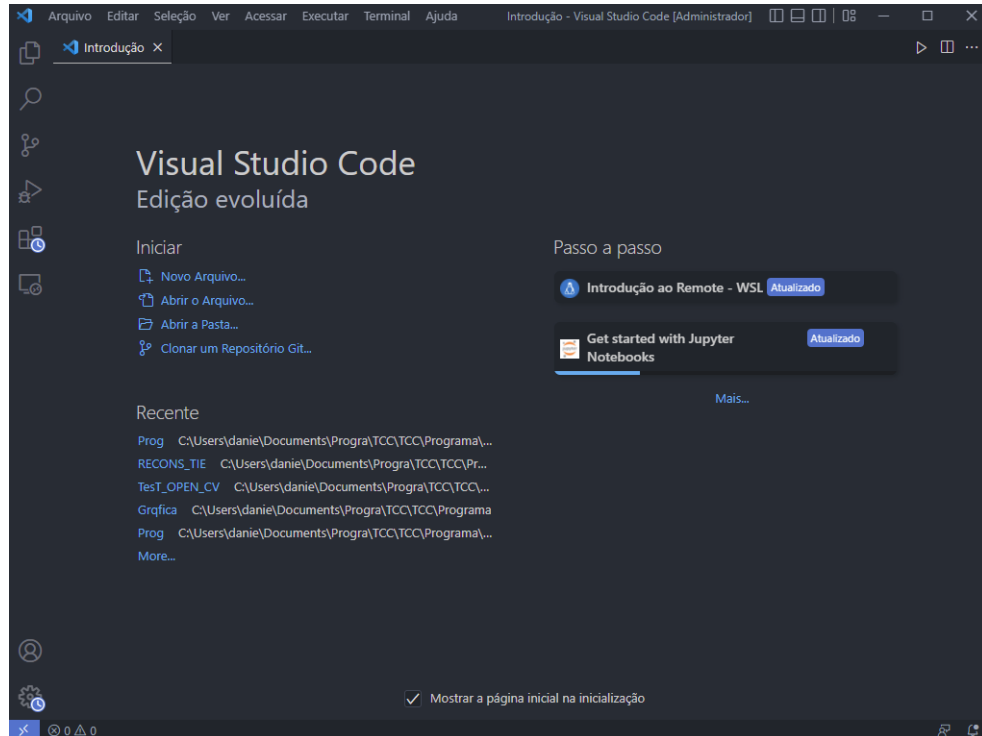
Para auxiliar no desenvolvimento, foi utilizado uma série de bibliotecas de programação, podendo citar duas como as principais a serem utilizadas, a biblioteca *Numpy*, que fornece a possibilidade de trabalhar com arrays multidimensionais e ainda possibilita de forma prática a multiplicação matricial, transformadas de Fourier, equações de álgebra linear e simulações a tornando uma biblioteca fundamental para a computação científica (DEVELOPERS, 2022).

A segunda biblioteca é a *OpenCV*, desenvolvida para trabalhar com visão computacional e aprendizado de máquina, possuindo ferramentas para identificar objetos, classificar ações humanas, reproduzir nuvem de pontos e reconstruir imagens, sendo possível programar usando python (OPENCV, 2022). A *openCV* é a principal aplicação para processamento de imagens em tempo real (FARIA; FARIA, 2021).

Para a criação da aplicação da interface de usuário com o programa será utilizada a biblioteca *Qt Creator* e sua aplicação visual, com o intuito de agilizar e fornecer ferramentas necessárias para a criação da mesma.

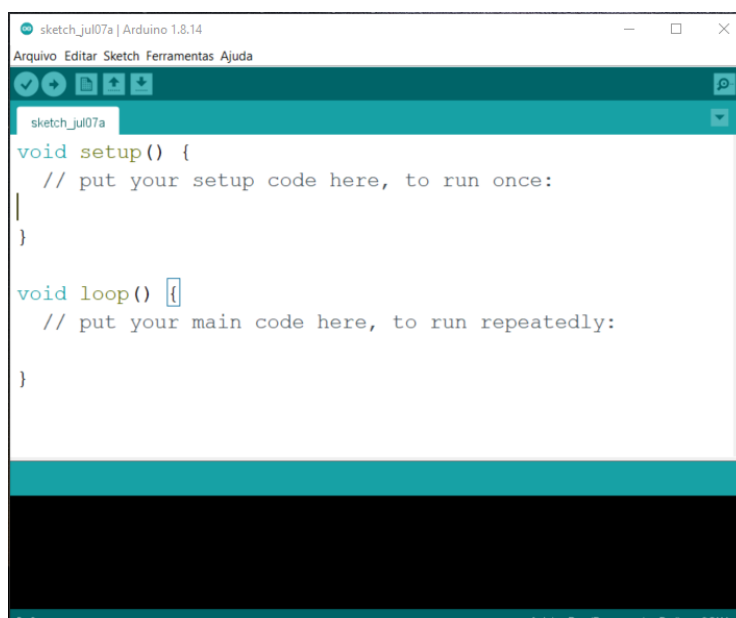
3.4 Ambiente de desenvolvimento

Para realizar o desenvolvimento foi optado pela utilização da ferramenta de edição de texto Visual Studio Code, VSCode, que possui uma série de plugins que aceleram desenvolvimentos de *software* em diversas linguagens de programação, entre elas o python, linguagem principal de implementação do código. É possível ver o ambiente de desenvolvimento na Figura 4.

Figura 4 – Ambiente de desenvolvimento do VSCode

Fonte: Autor

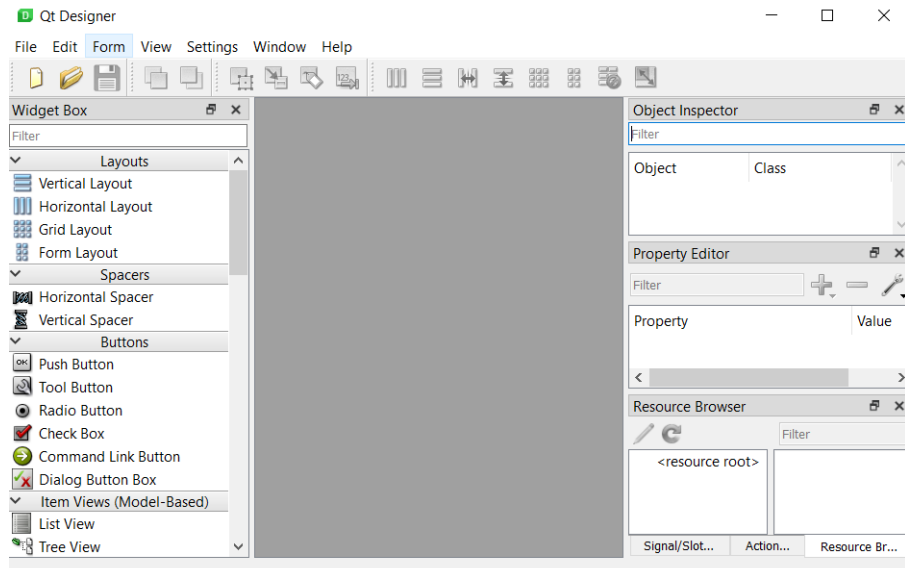
A programação da placa Arduino due, foi por meio da IDE, *Integrated Development Environment* ou traduzindo Ambiente de Desenvolvimento Integrado, nativa disponibilizada pela própria empresa desenvolvedora da placa, no caso a Arduino IDE mostrada na Figura 5, que já possui ferramentas de desenvolvimento do programa para esse dispositivo.

Figura 5 – Ambiente de desenvolvimento do Arduino IDE

Fonte: Autor

Como já comentado, para a criação da interface, foi escolhida a biblioteca Qt creator que possui uma interface de criação gráfica para auxiliar e agilizar a criação, essa interface é possível ver na Figura 6 .

Figura 6 – Ambiente de desenvolvimento do QTcreator livre



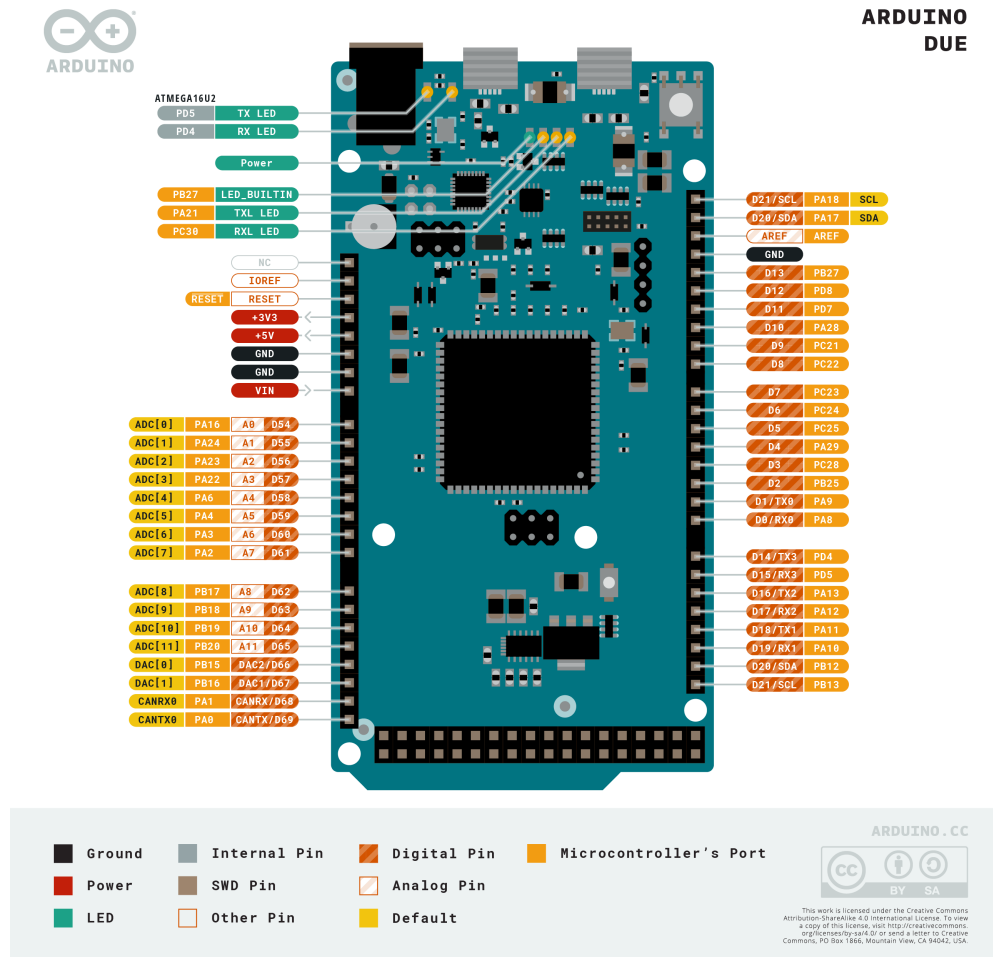
Fonte: Autor

3.5 Arduino due

O Arduino due é uma placa de desenvolvimento construída em torno do microcontrolador Atmel SAM3X8E ARM Cortex-M3, sendo um processador ARM de 32 bits com 54 pinos GPIO que podem ser programadas como entrada ou saídas, 12 entradas analógicas com um conversor AD de 12 bits trabalhando com variações de tensões de 0 à 3,3 volts e suporte a protocolos de comunicação como SPI , I2C e suporte ao barramento CAN (ARDUINO, 2022).

A placa Arduino due é uma das placas da linha de prototipagem e desenvolvimento Arduino, sendo descrito por PALLARO (2019) como um dos modelos com maior desempenho de processamento. A Figura 7 mostra à placa junto a especificação de cada pino.

Figura 7 – GPIO Arduino due



Fonte:arduino (2022)

3.6 SPI

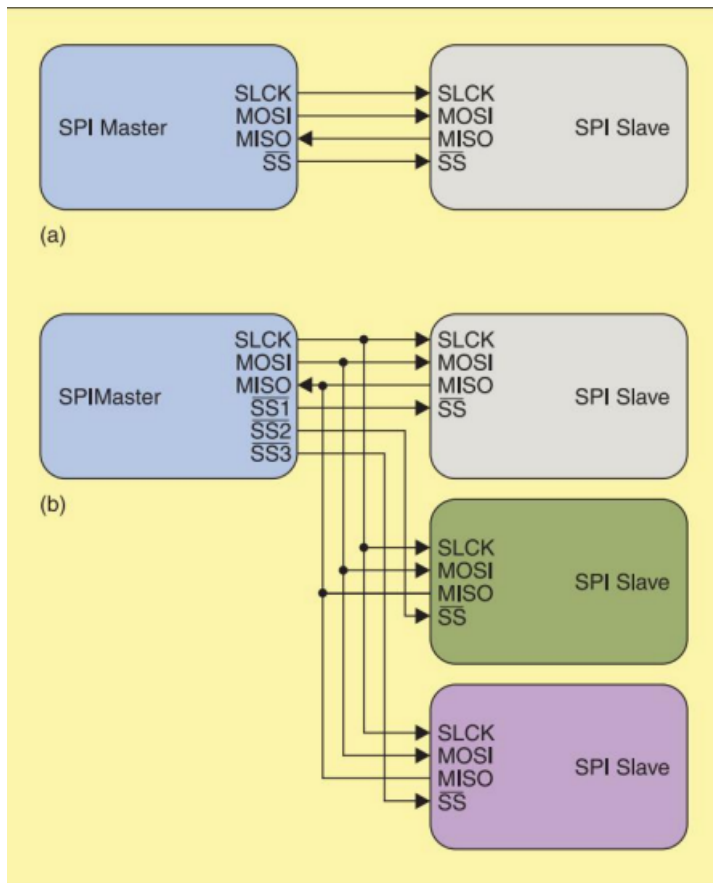
Para a aquisição de dados entre o Raspberry pi e o Arduino due, foi utilizado a comunicação SPI, um protocolo serial comumente utilizado para realizar a transferência de dados, sendo um protocolo de transmissão síncrona, transmite e recebe dados simultaneamente, baseado em interface mestre escravo, em que ambos recebem e encaminham mensagens. Nesse protocolo o mestre pode se comunicar com vários escravos, fazendo o uso de um sinal de clock para realizar o deslocamento de bits. O protocolo SPI utiliza 3 ligações comuns, sendo necessário mais uma conexão por dispositivo escravo conectado ao mestre, sendo as conexões (ANAND *et al.*, 2014):

- SCLK: O sinal de *clock*, responsável por sincronizar os dispositivos.
- MOSI: Linha de dados que transmite informações do bit do mestre para o escravo.
- MISO: Linha de dados de transmissão do escravo para o mestre.

- SS: *Slave select*, responsável por habilitar o escravo para receber e transmitir dados.

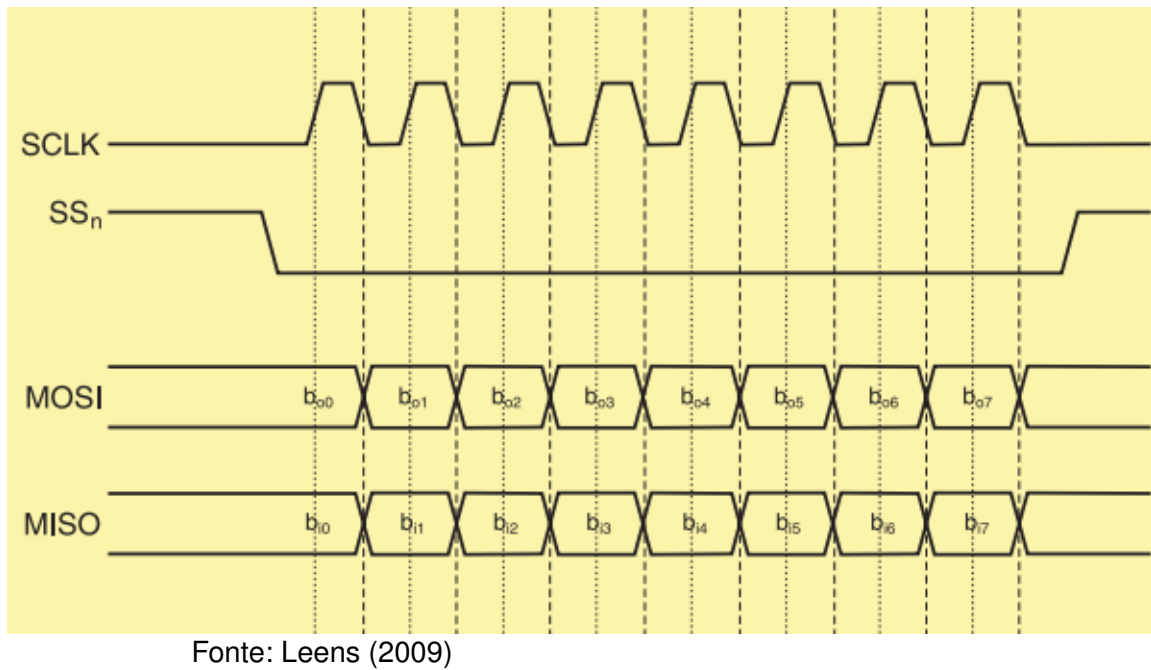
O autor Leens (2009) mostra a utilização de um mestre com somente um escravo, e com múltiplos escravos junto a suas ligações necessárias na Figura 8.

Figura 8 – Conexão mestre escravos SPI



Fonte: Leens (2009)

O barramento de dados ainda pode ser configurado para obter os dados por borda de subida ou descida do SCLK nas linhas MISO e MOSI, e estados da linha enquanto o escravo estiver desabilitado. A Figura 9 monstra o barramento de sinais de comunicação (LEENS, 2009).

Figura 9 – Sinais SPI simples comunicação

Fonte: Leens (2009)

3.7 Hardware

Para o sistema de aquisição, foi utilizada a placa desenvolvida com as noções da placa de aquisição de Schluchter (2020), sendo desenvolvida para realizar a aquisição de um conjunto de 16 eletrodos dispostos de maneira circular. O sistema de aquisição é fundamentado em eletrodos e multiplexadores para gerir de forma efetiva qual dos eletrodos será responsável por fornecer corrente, assim como, qual será conectado a fim de se obter a diferença de potencial.

O circuito utiliza um conjunto de multiplexadores capazes de comutar uma saída ou entrada analógica cada multiplexador com uma entrada de 4 bits consegue endereçar até 16 portas, dessa forma foram utilizados 4 multiplexadores modelo 74HC4067, sendo cada um responsável por uma tarefa, apresentada na Tabela 1 (SCHLUCHTER, 2020).

Tabela 1 – Funções dos multiplexadores

Multiplexador	Função
MUX1	Emissor de corrente
MUX2	Dispensar corrente
MUX3	Leitor de tensão
MUX4	Tensão referência

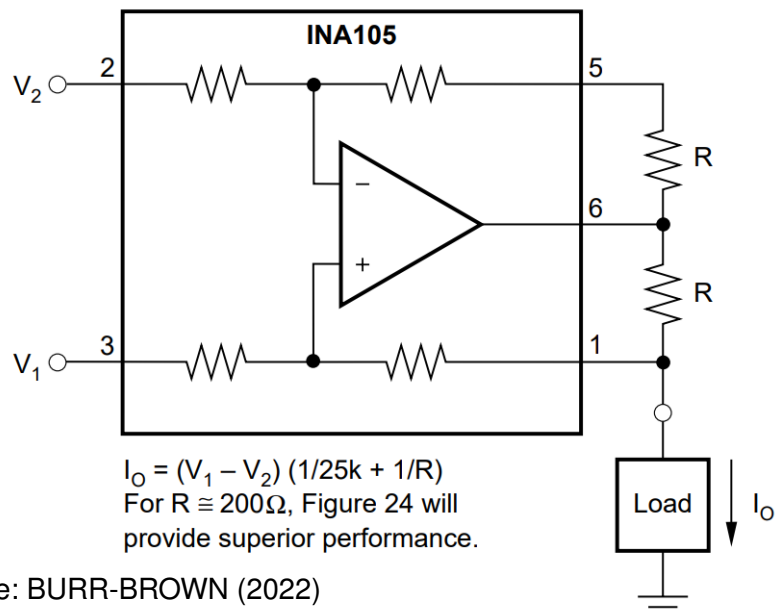
Fonte: Adaptado de (SCHLUCHTER, 2020)

A excitação do sistema de Schluchter (2020), utilizando um gerador de funções com o objetivo de converter a saída de tensão em corrente.

3.7.1 Circuito de excitação

Com a utilização de uma amplificador de instrumentação INA105 da marca Burr-Brown, a tensão proveniente do gerador de funções é convertido em corrente, sendo utilizado a própria configuração recomendada pelo *datasheet* do fabricante como mostrado na Figura 10 (SCHLUCHTER, 2020).

Figura 10 – Fonte de corrente com INA105



Segundo o próprio fabricante para se obter o valor da corrente I_O , é necessário utilizar a Equação 13.

$$I_O = (V_1 - V_2) * \left(\frac{1}{25k} + \frac{1}{R} \right) \quad (13)$$

Os trabalhos de Schluchter (2020) estipulam como corrente desejada $141\mu A$ com variação de tensão de $0,55V$, necessita de uma resistores de $4,6k$ Ohms obtendo uma corrente de $100\mu A$.

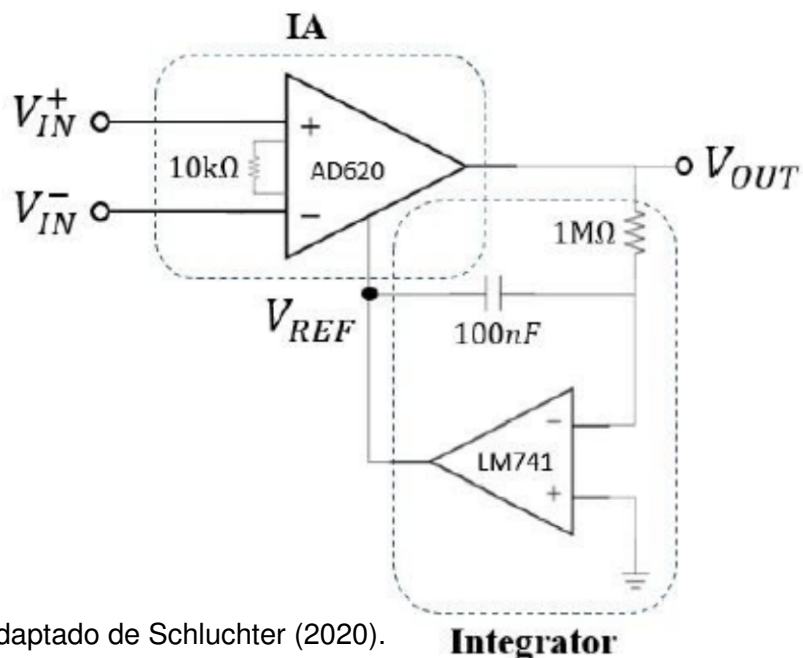
3.7.2 Aquisição de sinais

Nos trabalhos de Schluchter (2020), foi desenvolvido o circuito com um amplificador de instrumentação, filtro passa-alta, filtro passa-baixo e um amplificador AD620. O amplificador utilizado na entrada do circuito foi um AD620 com ganho estipulado pela Equação 14.

$$G = \frac{R}{Rg - 1} \quad (14)$$

Ao estipular $R = 49,4\text{ K}\Omega$, definindo o resistor de ganho como $Rg = 10\text{K}\Omega$, se consegue um ganho de 5,94 (SCHLUCHTER, 2020). Como o AD620 possui um ganho de corrente contínua, a saída foi conectada um circuito integrador com um TL081, subtraindo a corrente contínua como mostrado na Figura 11.

Figura 11 – Amplificador de instrumentação com integrador

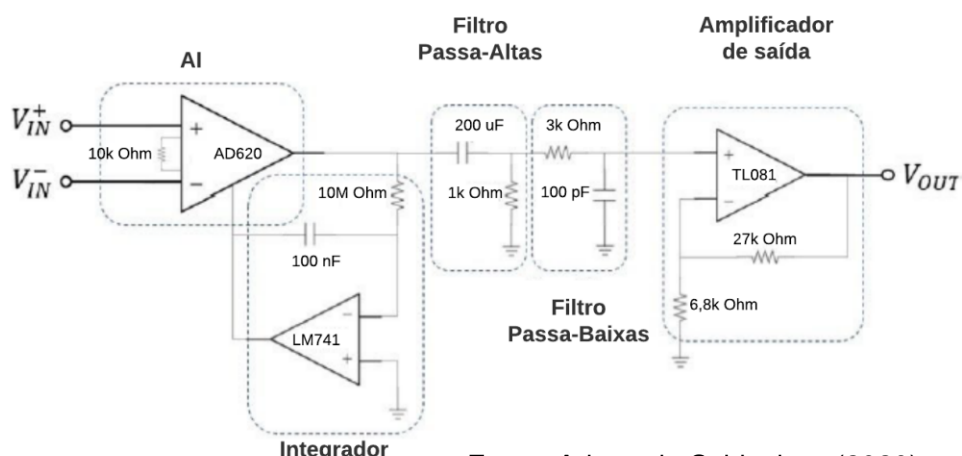


Fonte: Adaptado de Schluchter (2020).

Integrator

Após essa primeira etapa, o sinal passa pelos filtros de passa-baixa e passa-altas ficando com uma frequência que varia de 0,8Hz e 117Khz (SCHLUCHTER, 2020). Por fim passa por um circuito amplificador utilizando um TL081, tendo como circuito de aquisição de sinal descrito na Figura 12 .

Figura 12 – Circuito de aquisição de sinais do sensor



Fonte: Adaptado Schluchter (2020).

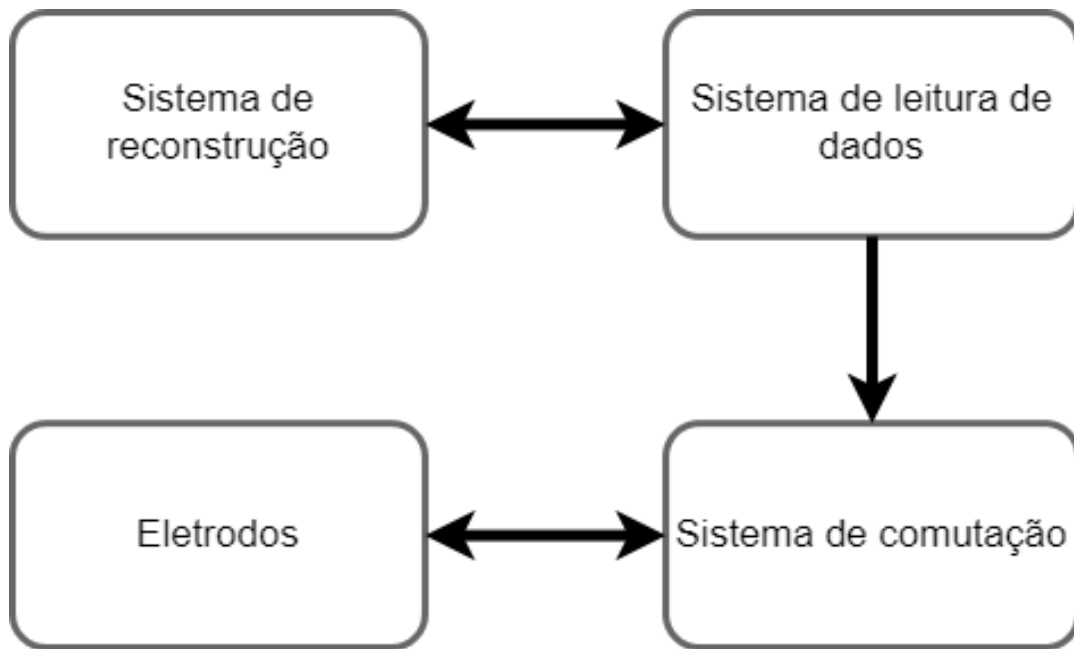
3.8 Arquitetura

No sistema TIE, uma série de componentes é utilizado, sendo eles responsáveis por realizar a comutação entre os eletrodos, aquisições de dados e interpretação dos dados. Podemos subdividir os módulos da seguinte forma (BARROS, 2011):

- Eletrodos : responsável por realizar a leitura de tensão e realizar a passagem de corrente pelo meio;
- Sistema de comutação: responsável por comutar qual eletrodo realizará a etapa de leitura e qual o de emissor de corrente;
- Sistema de leitura de dados: responsável por ler o valor da variação de tensão;
- Sistema de reconstrução: responsável por gerir a aquisições de dados, e realizar a reconstrução da imagem.

Utilizando esses módulos, foi realizado o desenvolvimento do programa e o fluxo de etapas para a comutação de eletrodos, aquisição de sinal e por fim a reconstrução da imagem. Na Figura 13 é mostrado como funciona o fluxo de dados assim como a comunicação existente entre os módulos.

Figura 13 – modelo de fluxo de dados

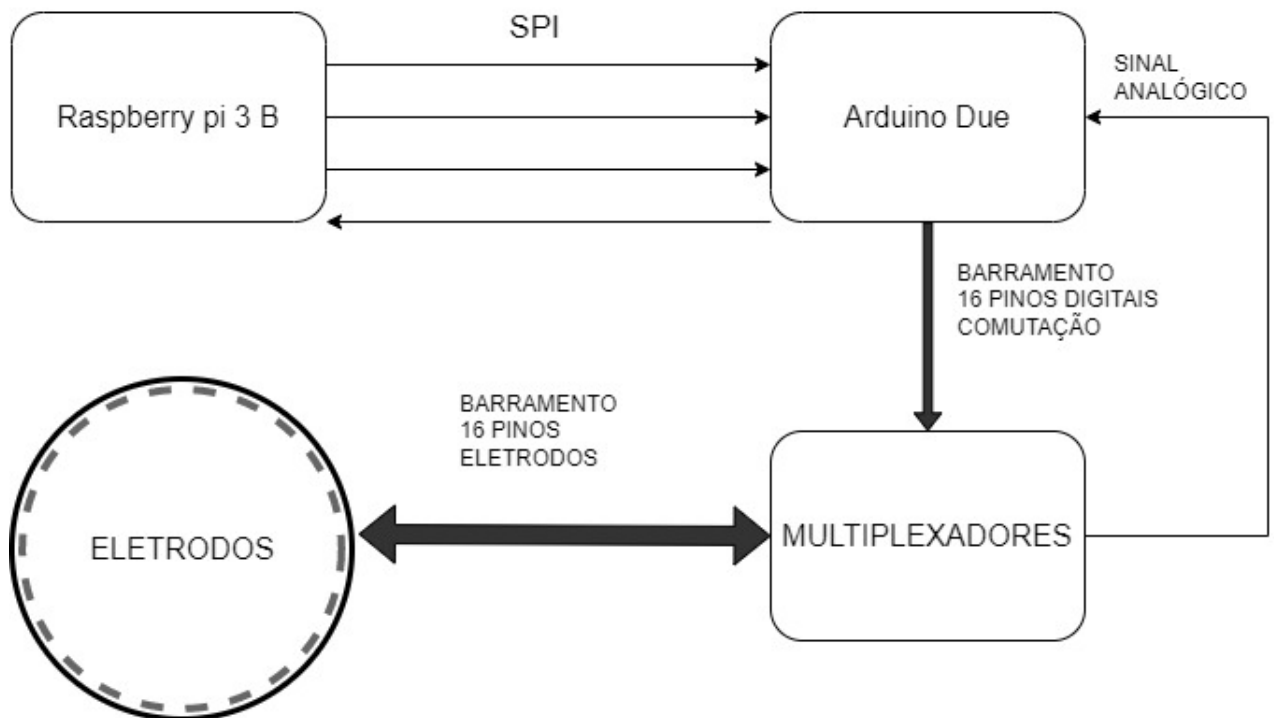


Fonte: O autor.

Para a realização de cada módulo foi proposta a utilização dos seguintes equipamentos: O Raspberry pi 3B como sistema de reconstrução de imagem; Arduino due para a leitura de dados analogicas de 12bits e para as comutações foi utilizado

como base a placa com multiplexadores descrita por Schluchter (2020) , considerado um sistema com 16 eletrodos. Na figura 14 é mostrada a montagem com os barramentos e conexões.

Figura 14 – Modelo de fluxo de dados utilizado



Fonte: O autor.

3.9 Aquisição de dados

A aquisição de dados realiza a integração de todos os módulos, sendo nessa etapa realizado o controle dos pares de eletrodos que serão acionado como emissores de corrente e qual responsável por realizar a leitura da variação de tensão. Cada componente do sistema atua com uma funcionalidade para realizar a leitura, sendo as seguintes definições dadas a cada um:

1. Raspberry pi: gerencia qual dos eletrodos será emissor de corrente e qual realizará a leitura transmitindo o comando por meio da comunicação SPI.
2. Arduino Due: responsável por receber e interpretar o comando recebido por SPI, gerando sinais lógicos em seus pinos com o intuito de setar os multiplexadores. Além disso, é o Arduino que interpreta o valor analógico recebido dos eletrodos após passar pelo sistema de aquisição e encaminha ao Raspberry, também por comunicação SPI.

3. Multiplexadores: ao receberem os sinais digitais, realizam a conexão dos eletrodos seguindo as ligações lógicas do Arduino.

3.9.1 Comandos SPI

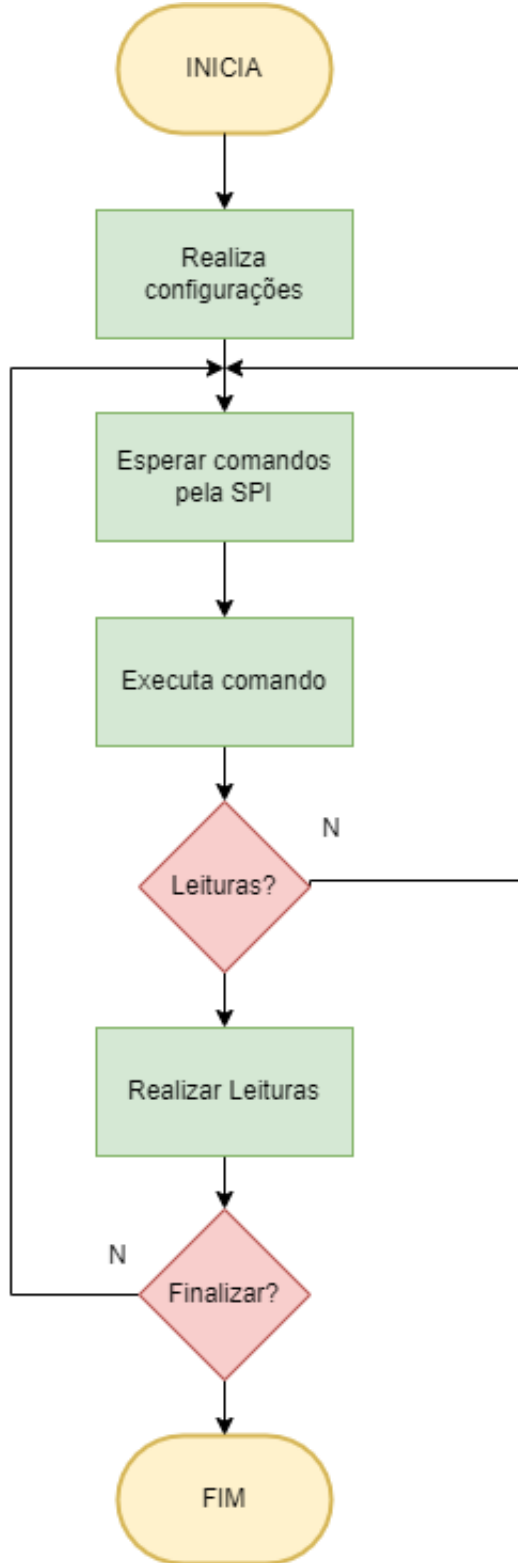
Com a utilização do protocolo SPI, foi realizada a integração por meio de um conjunto de comandos utilizando hexadecimais (HEX). Na tabela 2 temos as listas em comandos e suas aplicações no Arduino.

Tabela 2 – Comando o protocolo SPI

Comando	Função
0x11	Setar saída dos Emissores
0x22	Setar eletrodo de Leitura
0x33	Reencaminhar último dado enviado
0x44	Retorna os eletrodos de emissores e corrente
0x55	Valores hexadecimais dos eletrodos de Leitura
0x99	Solicita a leitura do dado da aquisição
0xAA	Inicia aquisição de dados.
0xCC	Confirmação de finalização de aquisição de dados

Fonte: O autor.

Entre os comandos, vale ressaltar o comando 0xCC, ao ser encaminhado pode vir a retornar 2 mensagem sendo 0xBB quando a aquisição ainda estiver sendo realizada, e 0xDD ao finalizar a leitura do eletrodo. O Arduino realiza não somente uma medição, mas sim uma série de medidas a fim de realizar a média de seus valores para obter uma maior precisão de suas leituras. O fluxograma da figura 15 estrutura como o programa do Arduino due atua junto aos comandos SPI.

Figura 15 – Fluxograma programa Arduino due

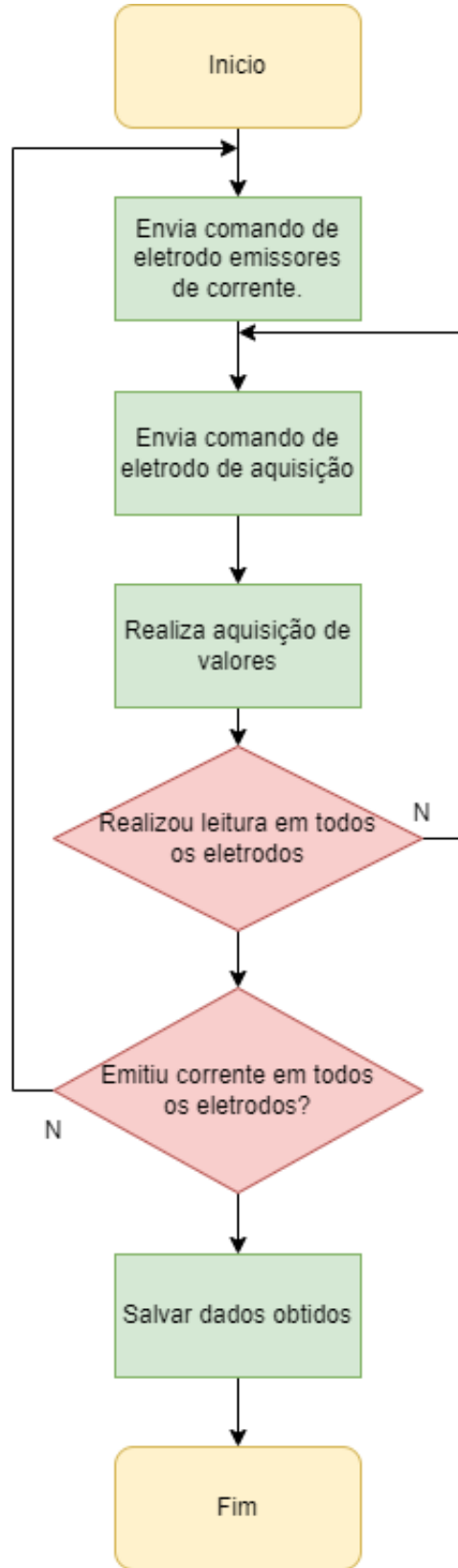
Fonte: O autor.

3.9.2 Gerenciamento eletrodos via Raspberry pi

A indexação dos eletrodos, assim como dar início às leituras de dados, ocorre por meio de um código feito em python rodando no Raspberry PI. O modelo de

indexação e de ordem de comandos é demonstrado no fluxograma da figura 16

Figura 16 – Fluxograma aquisição de dados Raspberry



Fonte: O autor.

O número total de leituras é obtido por meio da quantidade de eletrodos e

métodos de leitura. No processo descrito, foi utilizado o método de eletrodos vizinhos, que tem como objetivo a medição e emissão de corrente por eletrodos em pares adjacentes; a quantidade de leituras pode ser obtida através da Equação 15, sendo que L é a quantidade de leituras e n a quantidade de eletrodos.

$$L = n(n - 3)$$

(15)

Como os sistemas de eletrodos possuem no caso da aplicação 16 eletrodos, o processo realiza ao todos 208 leituras dos pares de eletrodos. É importante salientar que muitas vezes será realizada leituras similares, mas que garante a verossimilhança das aquisições

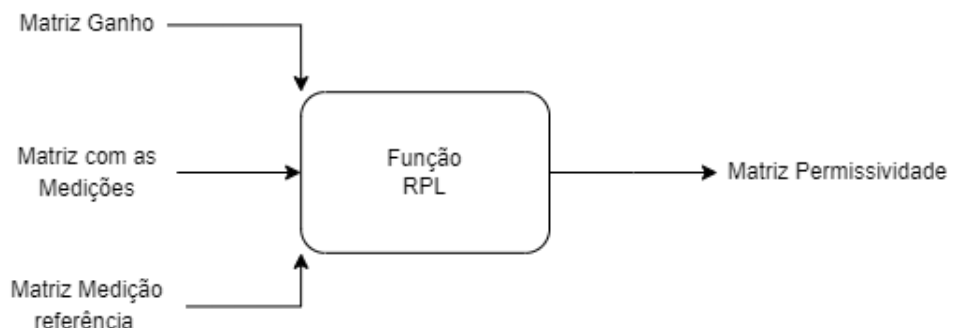
3.10 Algoritmo de resolução

Como mostrado na Equação 3 é preciso calcular a variação do meio com base na permissividade, indutância do meio, para isso foram implementados dois algoritmos, o da retroprojeção linear e de Landweber.

3.10.1 Retroprojeção linear

O método da retroprojeção linear, para ser implementado, necessita da entrada de duas matrizes como mostrado na Equação 4, sendo a entrada da matriz sensibilidade e a matriz com os sinais oriundos dos eletrodos, porém na prática foi realizada uma função com entradas de três parâmetros, sendo o terceiro o valor do meio sem a existência de um material que provoca a variação de impedância, os valores da variações de tensão em seu estado natural. A Figura 17 mostra o fluxo de entrada de dados.

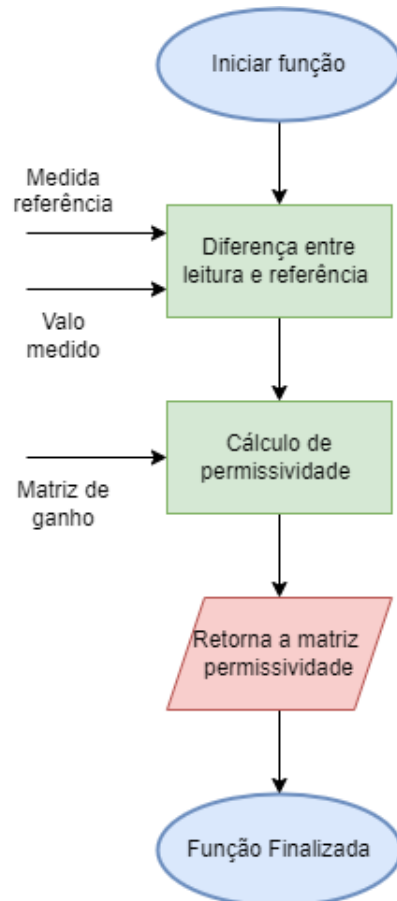
Figura 17 – Entrada de dados LBP



Fonte: O autor.

Para a realização do cálculo foi utilizado a biblioteca *numpy*, que realiza operações entre matrizes de forma dinâmica por meio dos métodos nela implementados. O fluxo interno nessa função foi realizado como mostrado na figura 18.

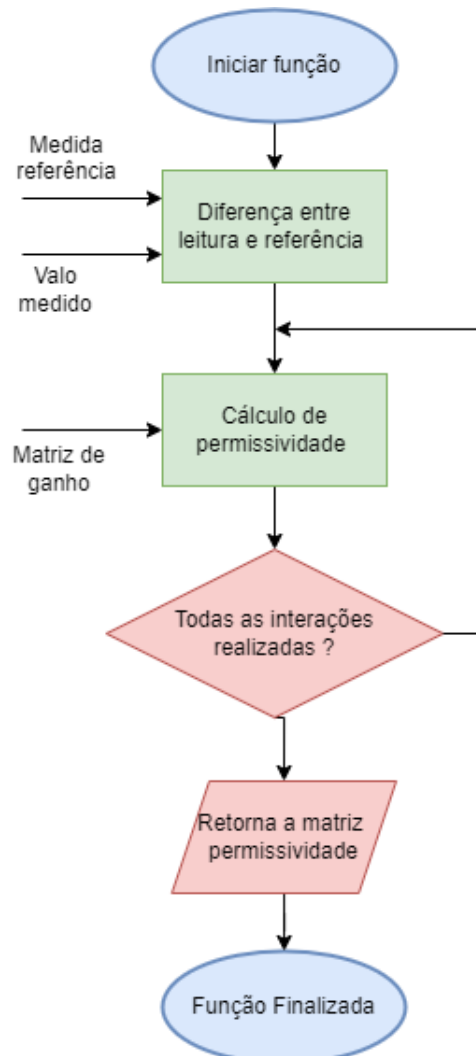
Figura 18 – Fluxograma cálculo Retroprefeção linear



Fonte: O autor.

3.10.2 Método interativo de Landwaber

A implementação do algoritmo iterativo de Landweber utilizou as mesmas bibliotecas da retroprojeção linear. A Figura 19 mostra o fluxograma da implementação do algoritmo iterativo de Landweber descrito da Equação 12.

Figura 19 – Fluxograma cálculo Landweber

Fonte: O autor.

3.11 Reconstrução da imagem

A reconstrução da imagem se dá pela entrada da matriz permissividade. Essa matriz é associada uma lista de triângulos dicretizada por seus vértices, sendo assim cada triângulo recebe um valor de permissividade que corresponde ao ponto do meio onde foi realizada a leitura.

Nessa etapa já é possível dizer que possui todos os aspectos da tomografia, porém não fica clara o entendimento somente por valores números, para isso foi adaptado o algoritmo de Fan, Gao e Wang (2011). Inicialmente utilizado para a criação de representações gráficas de tomografia por capacitância, porém será utilizado nesse contexto para a representação da indutância.

O algoritmo prevê cálculos diferentes dos valores obtidos normalizados de permissividade presentes na imagem, sendo que nesta abordagem será tomada a impedância como valor normalizado, transformado em valores para cores RGB (Red

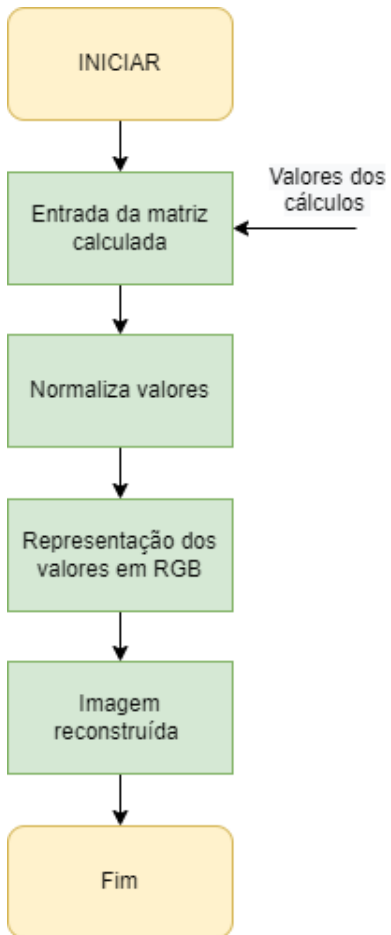
Green Blue) , vermelho, verde e azul respectivamente.

$$\begin{cases} R = 255 \\ G = \frac{1-\sigma}{1-0.55}, \text{ se } 0.55 \leq \sigma \leq 1 \\ B = 0 \end{cases} \quad (16)$$

$$\begin{cases} R = \frac{\sigma-0.45}{0.55-0.45} \cdot 255 \\ G = 255, \text{ se } 0.45 \leq \sigma \leq 0.55 \\ B = \frac{0.55-\sigma}{0.55-0.45} \cdot 255 \end{cases} \quad (17)$$

$$\begin{cases} R = 0 \\ G = \frac{\sigma}{0.45} \cdot 255, \text{ se } \sigma \leq 0.45 \\ B = 255. \end{cases} \quad (18)$$

Com os valores de cores seguindo o programa por meio da biblioteca *Opencv* realiza a reconstrução da imagem associando a cada triângulo o valor de cor RGB com base em seus cálculos previamente realizados.O fluxograma da figura 20 mostra as etapas até a reconstrução.

Figura 20 – Fluxograma reconstrução da imagem

Fonte: O autor.

3.12 Discretização da imagem

Para realizar a reconstrução da imagem, será preciso discretizar o espaço a ser realizada a reconstrução da imagem em espaços menores a fim de representar os objetos, sendo utilizada malha de triângulos interligados com o objetivo de representar o meio de interesse .

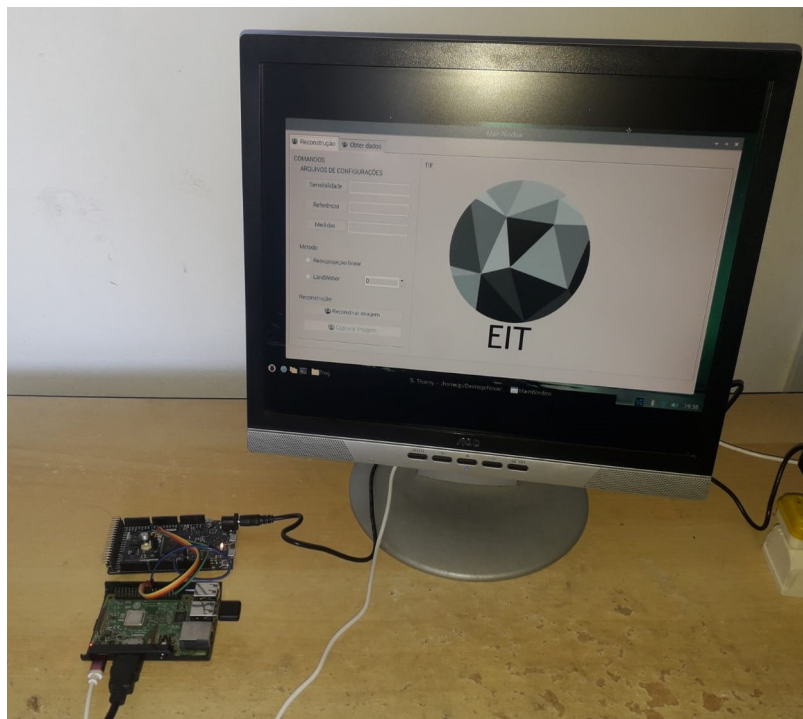
A discretização de triângulos é carregada por um conjunto de 3 pontos interligados para criar um triângulo, sendo que esse triângulo possui pontos compartilhados com os triângulos ao seu redor, construindo uma representação 2D do meio em que estão sendo realizadas as leituras. O espaço a ser discretizado será circular a fim de representar um sistema de aquisição de tomografia por impedância circular.

4 APRESENTAÇÃO DOS RESULTADOS

Neste capítulo serão apresentados os resultados do desenvolvimento do código descrito nos capítulos anteriores. Será apresentado o resultado final da implementação assim como os testes de validação executados e os resultados obtidos.

Para a realização dos testes foi realizada a seguinte montagem dos componentes, no caso, o Raspberry Pi, Arduino e uma tela para apresentar o resultados. A montagem é mostrada na Figura 21.

Figura 21 – Montagem para testes



Fonte: O autor.

4.1 Interface com o usuário

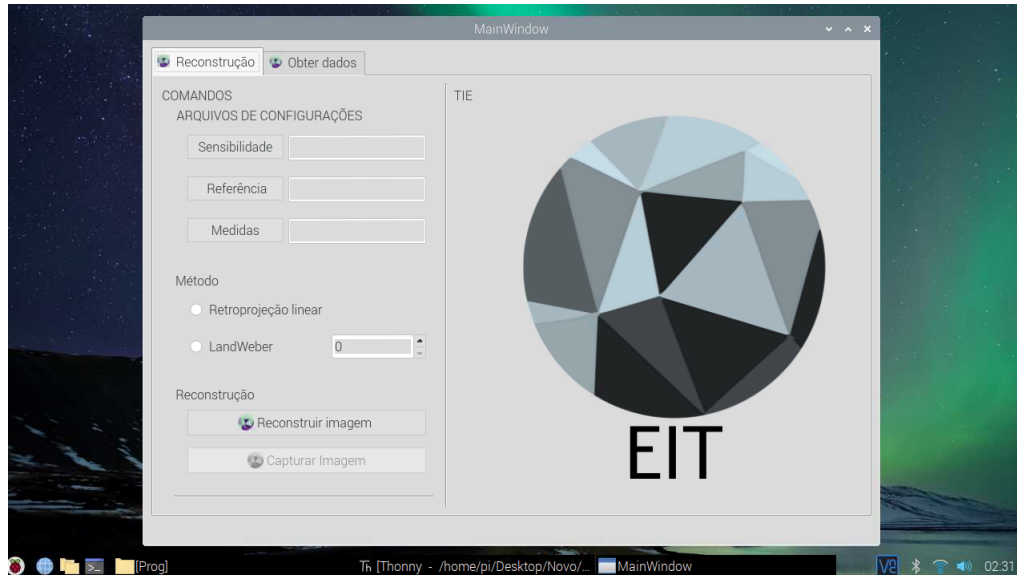
A interface do usuário foi construída levando em conta as necessidades envolvidas para a reconstrução da imagem, podendo citar os seguintes pontos, lembrando que deveria ser compatível com o sistema operacional do Raspberry pi 3 B fundamentado em linux:

- Entrada de matriz sensibilidade;
- Entrada vetor de tensão referência;
- Entrada vetor de tensão medidas;
- Possibilitar salvar a imagem obtida;

- Escolha do método de reconstrução (Retroprojeção ou Landweber);
- Realizar aquisição de sinais e salvar arquivos CSV.

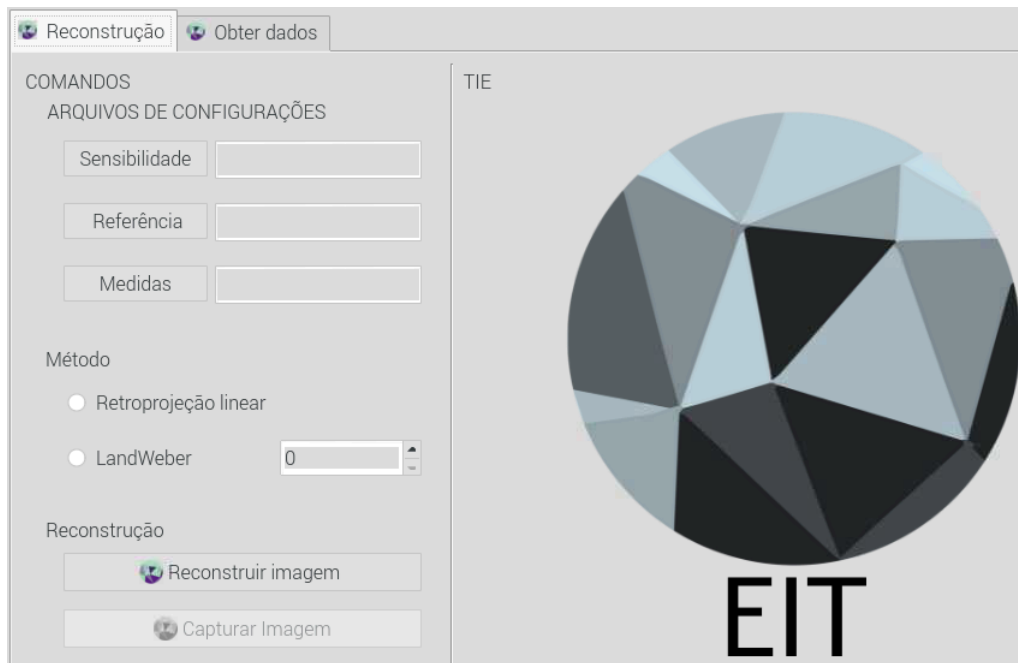
Com esses aspectos, foi desenvolvida a seguinte interface com o usuário que é apresentada na Figura 22 com o programa rodando já no sistema operacional do Raspberry pi, no caso em questão no sistema raspbian.

Figura 22 – Interface em funcionamento no raspbian



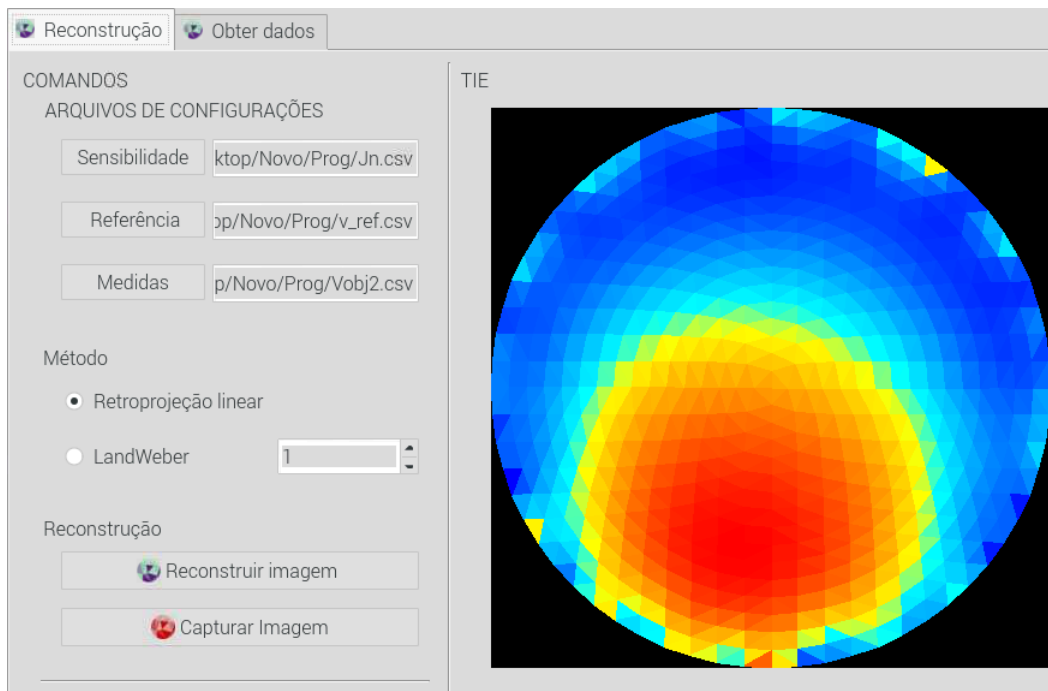
Fonte: O autor.

De forma mais detalhada, a interface foi dividida em duas abas, sendo a mostrada na Figura 22 a principal, onde é mostrado ao usuário a imagem reconstruída. De forma mais detalhada, a Figura 23, mostra a aplicação possibilitando ver os pontos para carregar as matrizes e vetores necessários, assim como espaço para escolher o método desejado, espaço para mostrar a imagem e ferramenta de captura para salvar a imagem.

Figura 23 – Interface principal

Fonte: O autor.

Ao realizar todas as configurações e escolher o método de reconstrução, a imagem, mostrada na tela. A Figura 24 mostra a atuação do programa com a reconstrução da imagem com o método da retroprojeção linear.

Figura 24 – Demonstração de reconstrução

Fonte: O autor.

A aba "Obter dados", é responsável por realizar as aquisições das leituras do Arduino due, após receber todos os dados salva os valores em um vetor usando o

arquivo CSV. A Figura 25 mostra a aba de obter dados.

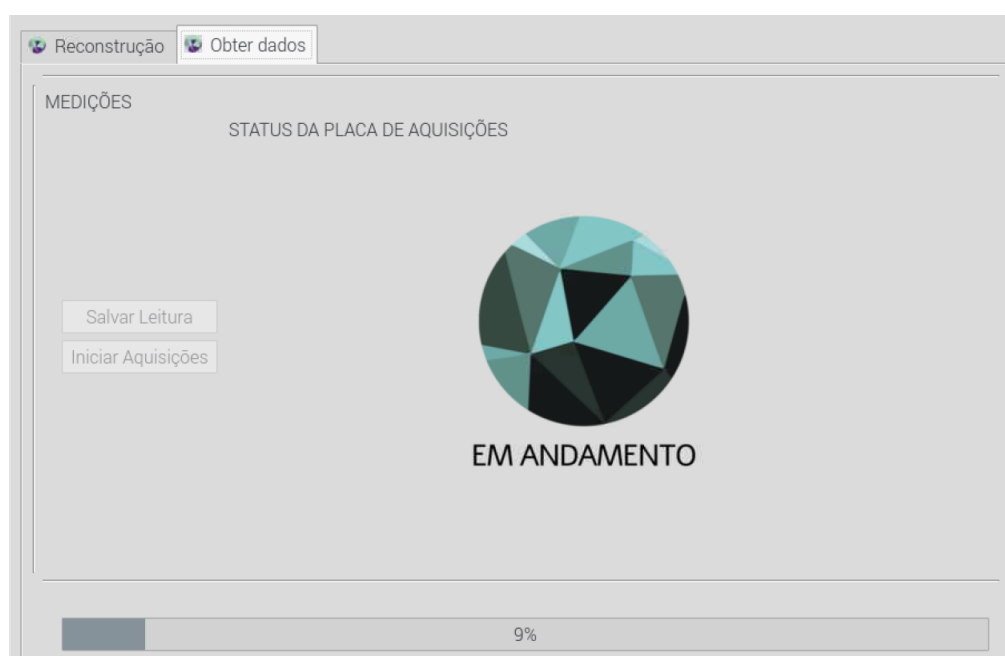
Figura 25 – Interface Obter dados



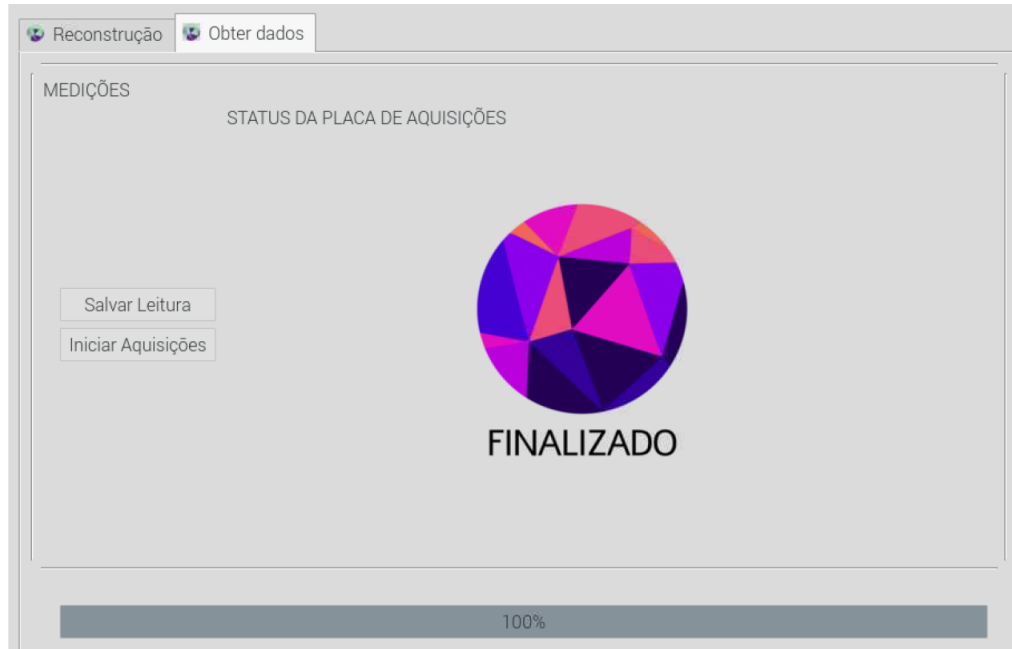
Fonte: O autor.

Essa aba possui variações ao iniciar a realização de aquisições para auxiliar o usuário a identificação, sendo mostrado na tela 2 variações: uma ao iniciar as leituras , mostrado na Figura 26; e outra ao finalizar as leituras mostrado na Figura 27, liberando a possibilidade de salvar o arquivo de aquisições.

Figura 26 – Leitura em andamento



Fonte: O autor.

Figura 27 – Leitura finalizada

Fonte: O autor.

4.2 Teste de acionamento dos multiplexadores

Para realizar a leitura de dados como descrito nos capítulos 3 e 4, foi implementada a lógica de acionamento dos eletrodos por meio da comutação das saídas.

Para esses testes, foi utilizado um multímetro em escala de tensão de 20 volts, a fim de identificar a comutação de dados nos pinos de saída do Arduino, sendo que desses testes foi obtida a comutação dos pinos, tendo em vista que durante os testes os pinos comutam de 0 a 3,0 volts já que o Arduino due opera com níveis de tensão lógica de acionamento de 3,3 volts.

4.3 Testes de aquisição

Como intuito de validar o sistema de aquisições que interage entre Raspberry e Arduino due, foi realizado os testes de aquisição, tendo em vista que os valores seriam fornecidos com sinais 12 bits, sendo assim teria composto por 4096 valores possíveis de nível lógico de tensão, variando entre os valores inteiros de 0 a 4095, fazendo correlação entre os valores de tensão de 0 a 3,3 volts. Dessa forma para chegar ao valor de tensão dado a entrada desses valores lógicos é necessário utilizar a Equação 19.

$$V(x) = \frac{3,3}{4095} \cdot x$$

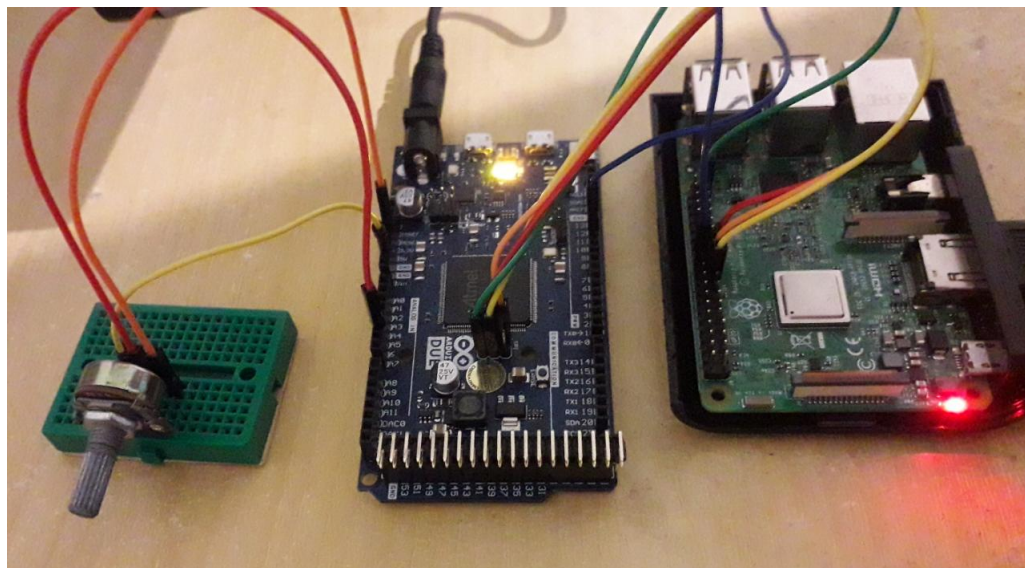
(19)

Sendo assim, foi realizado testes de aquisição realizando a leitura de tensão conectados ao GND, sendo esperado o nível lógico de tensão esperado igual a 0. Como resultado foi obtidas 208 leituras com nível lógico 0, logo temos 0 V

Em seguida, foi conectado a leitura a tensão de 3,3 V, dessa forma obtendo como resultado os valores de 208 leituras, no entanto, com o nível lógico de 4095 e algumas medições com o valor de 4094.

Para validar outros valores, foi conectado um potenciômetro ao circuito, com o intuito de variar a tensão na entrada analógica como mostrada na Figura 28. Com o auxílio de um multímetro da marca minipa modelo ET-1002 , foi lida a variação de tensão fornecida a entrada analógica pelo potenciômetro sendo lido como variação de tensão o valor de 2,00V, esperando assim a leitura de níveis lógicos de tensão igual 2482 segundo a Equação 19.

Figura 28 – Montagem tensão variável



Fonte: O autor.

Como resultado das medidas, foram obtidos 208 valores. Esses valores no teste sofreram uma pequena variação sendo obtido valores que variam entre medidas lógicas entre 2540 e 2542, variação pequena, porém com um valor diferente de nível lógico de tensão esperado considerando o valor medido pelo multímetro. Na tabela 3 é mostrado os valores de tensão segundo a Equação 19, para os níveis lógicos de 2540,2541 e 2542 obtidos pelas leituras.

O erro existente pode ter sido ocasionado pela matriz de contato, onde foram realizadas a leitura de entradas do sinal analógico. Como foram realizadas 208 leituras todos elas esperando obter o mesmo valor, foi calculado o desvio padrão com o intuito

Tabela 3 – Tabela de tensões lidas

Tensão medida	Tensão referência	erro
2,046	2,00	0,046
2,047	2,00	0,047
2,048	2,00	0,048

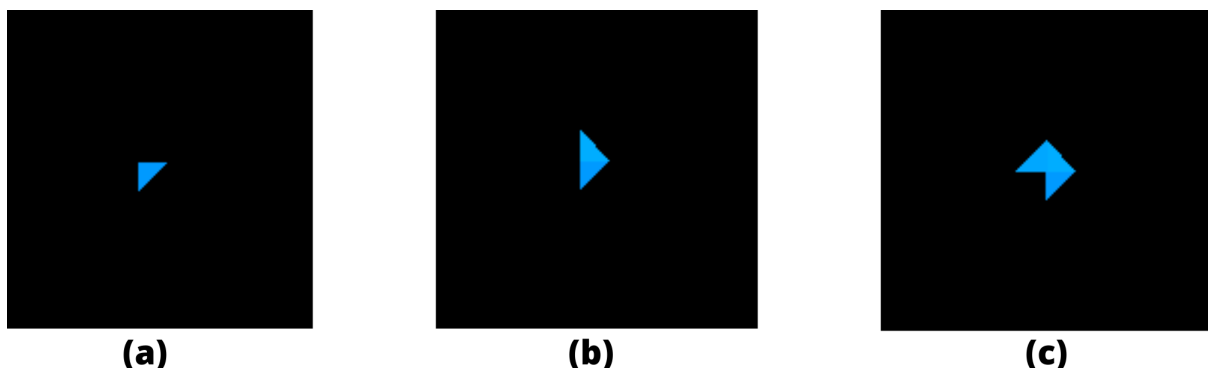
Fonte:O autor

de verificar a uniformidade dos dados, efetuando o desvio padrão das 208 medidas com os níveis lógicos.

4.4 Representação tomográfica

A representação da imagem tomográfica será por meio da imagem discretizada de uma circunferência, utilizando de 1024 triângulos, cada triângulos recebe uma codificação de cor RGB , com o intuito de representar a impedância. O conjunto de triângulos é construído por meio de 3 pontos, sendo que esses pontos são carregados ao programa por meio de uma arquivo CSV, a imagem é construída por meio construção da imagem ao carregar os pontos.

Figura 29 – Etapas de criação da malha (a) Primeiro triângulo (b) Segundo triângulo (c) Terceiro triângulo



Fonte: O autor.

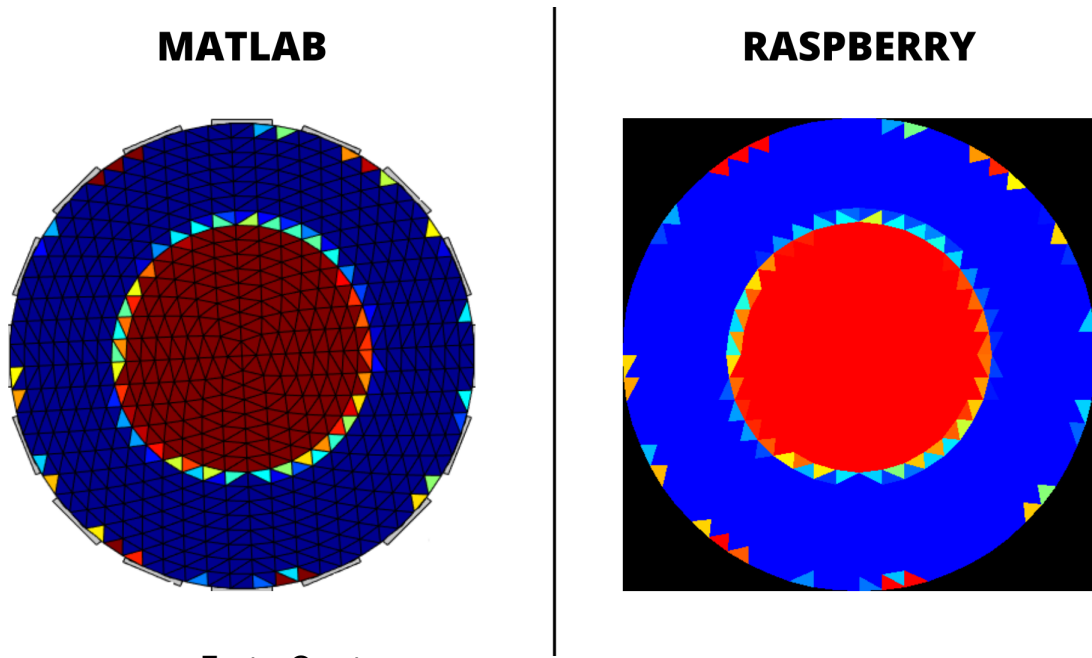
A malha será a responsável por realizar a representação do espaço e das variações de impedância pela variação de cor de cada um dos triângulos.

4.5 Reconstrução da imagem

Os testes de reconstrução da imagem foram executados por meio da utilização de 2 vetores de medidas obtidos anteriormente por meio de experimentação, sendo que a fim de comparação foram implementados os algoritmos de retroprojeção linear e de landweber no matlab, a fim de realizar a comparação dos resultados alcançados com a implementação do programa. Nas Figuras 30 até 33 temos a comparação da

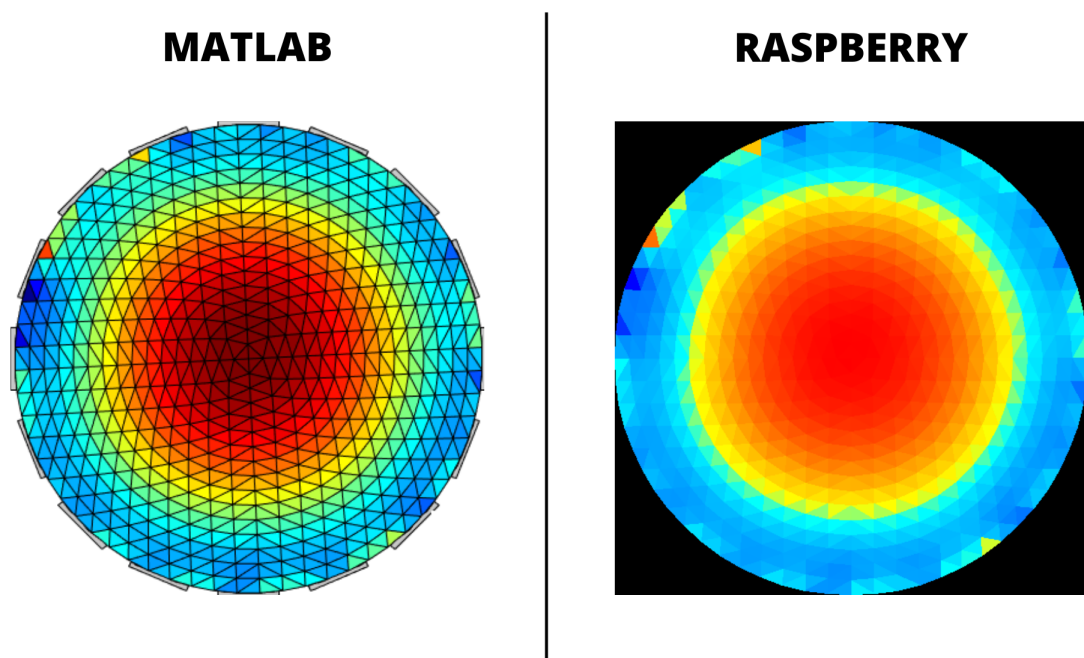
implementação dos métodos e das imagens obtidas por meio do matlab e as geradas pelo programa embarcado ao Raspberry, para 2 vetores distintos.

Figura 30 – Comparação vetor objeto 1 com Landwaber 100 interações



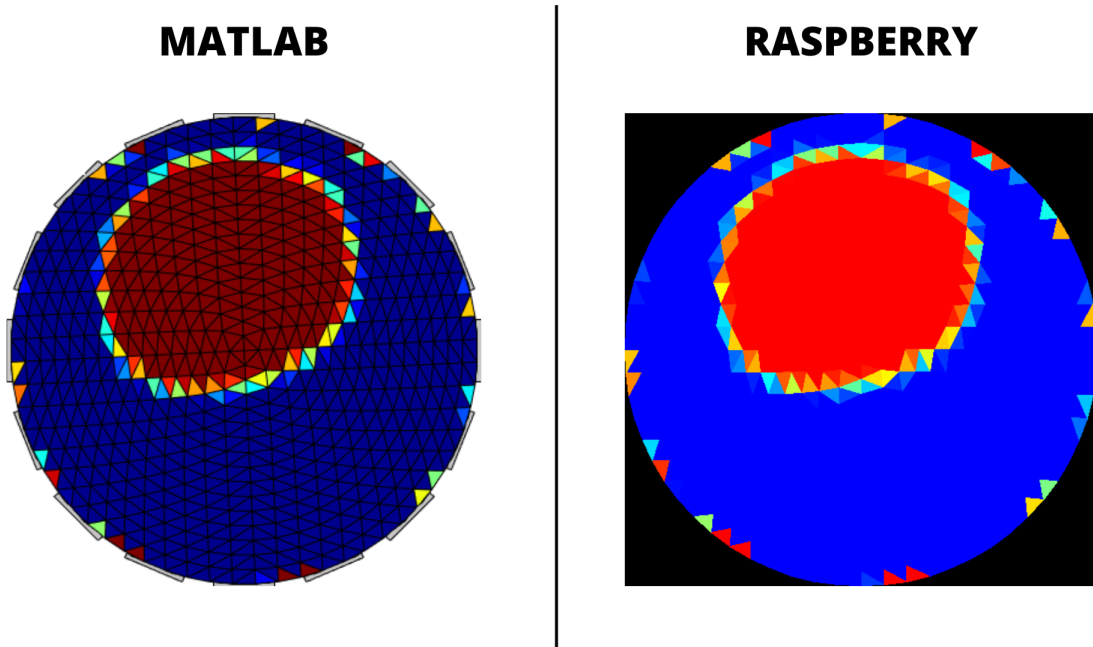
Fonte: O autor.

Figura 31 – Comparação vetor objeto 1 com retroprojeção linear



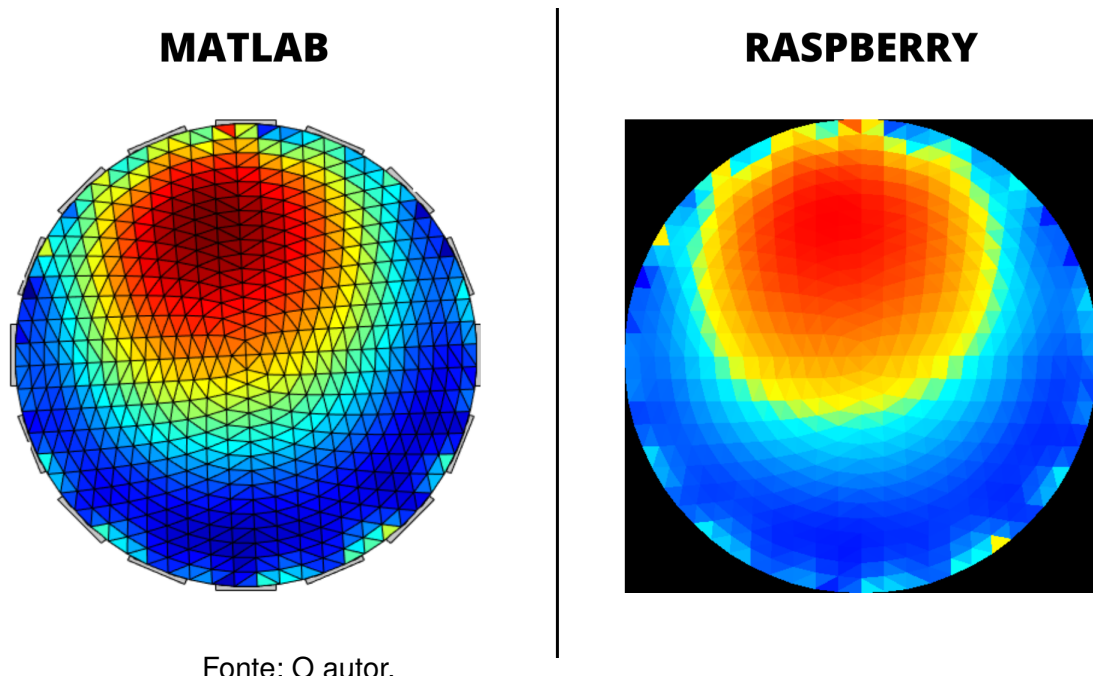
Fonte: O autor.

Figura 32 – Comparação vetor objeto 2 com Landwaber 100 interações



Fonte: O autor.

Figura 33 – Comparação vetor objeto 2 com retroprojeção linear



Fonte: O autor.

4.6 Análise e discussão dos resultados

Ao analisar as imagens é possível identificar a verossimilhança entre a aplicação no matlab e no programa embarcado no Raspberry para a reconstrução da imagem, mostrando a capacidade do programa em realizar a reconstrução da imagem.

Vale ressaltar que para a aplicação dos métodos, nos testes de execução com o programa embarcado no Raspberry pi , o método com maior velocidade de

execução foi o método da retroprojeção linear. As imagens geradas por esse métodos acabam por não gerar uma convergência na imagem, mostrando espaços externos com as variações de impedância, em comparação com o método de Landweber, as Figuras 33 e 32 mostram de maneira bem acentuada essa variação, enquanto no método de Landweber o objeto possui uma forma mais definida em comparação com a retroprojeção linear.

5 CONSIDERAÇÕES FINAIS

No presente trabalho, foi descrito o método de tomografia por impedância elétrica TIE, trazendo modelos de aquisição, circuitos de aquisição e o foco central do trabalho, os algoritmos utilizados para realizar a reconstrução da imagem, sendo detalhados os passos e conhecimentos necessários, tendo em vista o resultado final, o desenvolvimento de um *software* capaz de realizar a aquisição e reconstrução de imagem de forma a possibilitar sua utilização em um sistema embarcado, no caso em especial no computador de placa única Raspberry pi B 3.

Como resultado, foi desenvolvido um *software* dedicado que possui de forma integrada a capacidade de realizar a aquisição de dados, assim como, a reconstrução de imagens de tomografia TIE, sendo que, é possível optar entre dois métodos de reconstrução de imagem, retroprojeção linear e algoritmo iterativo de LandWeber. Esses dois métodos possuem suas singularidades quanto à resposta final e ao tempo de operação para retorno de respostas. Ambas as propostas apresentaram resultados satisfatórios, tendo em comparação algoritmo implementado em Matlab em um computador pessoal à parte.

Além da reconstrução, foi desenvolvido um método de aquisição utilizando um arduino integrado ao sistema por meio de interface de comunicação SPI. A integração desta segunda placa permite a conexão do programa a placas de aquisição que utilizam sistemas de multiplexação para 16 eletrodos que realizam o processo de aquisição dos eletrodos vizinhos.

Esse desenvolvimento valida a possibilidade de desenvolver sistemas que possam auxiliar em pesquisas ligadas a tomografia TIE, assim como, levanta a possibilidade da utilização de placas como a descrita, para implementação no âmbito da medicina.

5.1 Sugestões para trabalhos futuros

Para estudos e trabalhos de desenvolvimento futuros que abordem o assunto de forma similar, como sugestão, trazer a implementação de ferramentas de análise da imagem com os métodos presentes na biblioteca OpenCV, de forma a além de realizar a reconstrução da imagem, possibilitar análises mais complexas.

Além disso, sugere-se a implementação de outros modelos de aquisição, como o modelo de aquisição do eletrodo oposto, assim como, desenvolver tanto uma aplicação de *software* como *hardware* que possibilite a utilização de forma paralelamente, ou seja, recolher as informações e reconstruir na tela de forma continua, sem a necessidade de salvar um arquivo CSV previamente.

REFERÊNCIAS

ZHAOYAN Fan and Robert X. Gao and Jinjiang Wang. 22

ANAND *et al.* Design and implementation of a high speed serial peripheral interface. In: . IEEE, 2014. p. 1–3. ISBN 978-1-4799-3543-7. Disponível em: <http://ieeexplore.ieee.org/document/6838431/>. 29

ARDUINO. *Pinout Diagram*. 2022. Disponível em <https://docs.arduino.cc/>. Acesso em 26 de junho de 2022. 28, 29

ARELLANO, F. Z. *et al.* Development of a portable, reliable and low-cost electrical impedance tomography system using an embedded system. *Electronics (Switzerland)*, MDPI AG, v. 10, p. 1–24, 1 2021. ISSN 20799292. 18, 20, 21

ARIS, W. Design of low-cost and high-speed portable two-dimensional electrical impedance tomography (eit). *International Journal of Engineering Technology*, v. 7, p. 6458–6463, 2018. Disponível em: www.sciencepubco.com/index.php/IJET. 21

BARROS, T. R. de. *Simulação numérica de um sensor de tomografia capacitiva para análise de escoamento bifásico ar-água*. 2011. Disponível em: http://acervus.unicamp.br/index.asp?codigo_sophia=795792. 34

BOLFE, V. *et al.* Comportamento da impedância elétrica dos tecidos biológicos durante estimulação elétrica transcutânea. *Revista Brasileira de Fisioterapia*, v. 11, 4 2007. ISSN 1413-3555. Disponível em: http://www.scielo.br/scielo.php?script=sci_arttext&pid=S1413-35552007000200011&lng=pt&nrm=iso&tlang=pt. 19

BURR-BROWN. *Precision Unity Gain DIFFERENTIAL AMPLIFIER INA105 DESCRIPTION*. 2022. Disponível em <https://www.raspberrypi.com/documentation/computers/os.html>. Acesso em 26 de junho de 2022. Disponível em: <https://pdf1.alldatasheetpt.com/datasheet-pdf/view/56670/BURR-BROWN/INA105.html>. 32

CARVALHO, A. C. P. *et al.* História da tomografia computadorizada história da radiologia descritores. *ACP Rev Imagem*, v. 29, p. 61–66, 2007. 17

DAVIDSON, J. L. *et al.* Three-dimensional electrical impedance tomography applied to a metal-walled filtration test platform. *Measurement Science and Technology*, Institute of Physics Publishing, v. 15, p. 2263–2274, 2004. 22

DEVELOPERS, N. *What is NumPy?* 2022. Disponível em <https://numpy.org/doc/stable/user/whatisnumpy.html>. Acesso em 26 de junho de 2022. 26

FAN, Z.; GAO, R. X.; WANG, J. Virtual instrument for online electrical capacitance tomography. In: SILVIU, F. (Ed.). *Practical Applications and Solutions Using LabVIEW Software*. Rijeka: IntechOpen, 2011. cap. 1. Disponível em: <https://doi.org/10.5772/19523>. 41

FARIA, J. J. R.; FARIA, A. R. de. Exploring the opencv library for image processing in long-pulse thermography. *Materials Research*, Universidade Federal de São Carlos, v. 24, 2021. ISSN 19805373. 26

- INCA. *Exposição à Radiação*. 2022. Disponível em <https://www.inca.gov.br/causas-e-prevencao/prevencao-e-fatores-de-risco/exposicao-a-radiacao>. Acesso em 25 de agosto de 2022. 15
- JIA, J.; WANG, H.; MILLINGTON, D. Electrical resistance tomography sensor for highly conductive oil-water two-phase flow measurement. *IEEE Sensors Journal*, Institute of Electrical and Electronics Engineers Inc., v. 17, p. 8224–8233, 12 2017. ISSN 1530437X. 17
- JIA, X. et al. The capacitance tomography image reconstruction algorithm based on sensitivity field sensitivity matrix. In: . [S.I.]: IOP Publishing Ltd, 2021. v. 2005. ISSN 17426596. 21, 22
- LANDWEBER, L. An iteration formula for fredholm integral equations of the first kind. *American Journal of Mathematics*, v. 73, p. 615, 7 1951. ISSN 00029327. Disponível em: <https://www.jstor.org/stable/2372313?origin=crossref>. 22
- LEENS, F. An introduction to i $²$ c and spi protocols. *IEEE Instrumentation Measurement Magazine*, v. 12, p. 8–13, 2 2009. ISSN 1094-6969. Disponível em: <http://ieeexplore.ieee.org/document/4762946/>. 30, 31
- MORSCH, J. A. *COMO É FEITO UMA TOMOGRAFIA? PARA QUE SERVE?* 2022. Disponível em <https://telemedicinamorsch.com.br/blog/como-e-feito-uma-tomografia>. Acesso em 17 de janeiro de 2022. 15
- MOTA, F. R. M. D. *TOMOMETRIA CAPACITIVA APLICADA À MEDAÇÃO DE FRAÇÃO DE ÁGUA EM ESCOAMENTOS BIFÁSICOS*. 2015. Disponível em: <https://repositorio.ufsc.br/xmlui/handle/123456789/169641>. 19, 22, 23
- OPENCV. *About*. 2022. Disponível em <https://opencv.org/about/>. Acesso em 26 de junho de 2022. 26
- PALLARO, M. A. P. *AVALIAÇÃO DE DESEMPENHO DE ALGORITMOS CRIPTOGRÁFICOS EM MICROCONTROLADORES ARDUINO*. 2019. Disponível em: <http://repositorio.utfpr.edu.br/jspui/handle/1/9263>. 28
- PERLIN, L. P.; PINTO, R. C. A. Tomografia ultrassônica em concreto. *Revista IBRACON de Estruturas e Materiais*, v. 6, p. 246–269, 4 2013. ISSN 1983-4195. Disponível em: http://www.scielo.br/scielo.php?script=sci_arttext&pid=S1983-41952013000200006&lng=pt&tlang=pt. 17
- RASCHKA, S.; PATTERSON, J.; NOLET, C. Machine learning in python: Main developments and technology trends in data science, machine learning, and artificial intelligence. *Information (Switzerland)*, MDPI AG, v. 11, 4 2020. 26
- RASPBERRYPI. *Raspberry Pi OS*. 2022. Disponível em <https://www.raspberrypi.com/documentation/computers/os.html>. Acesso em 26 de junho de 2022. 25
- RIBEIRO, D. E. Protótipo de um tomógrafo de impedância de baixo custo baseado em open-hardware. *Universidade Federal de Pernambuco*, 8 2017. Disponível em: <https://repositorio.ufpe.br/handle/123456789/31146>. 15

- RYMARCZYK, T. Prototype of miniature electrical impedance tomograph smarteit cooperating with raspberry pi platform; prototype of miniature electrical impedance tomograph smarteit cooperating with raspberry pi platform. 2019. 20
- SCHLUCHTER, A. *A 16-Channel Electrical Impedance Tomography System Using the Red Pitaya*. 2020. Disponível em: <https://escholarship.org/uc/item/7969r8kb>. 31, 32, 33, 35
- SINGH, G. *et al.* A low-cost portable wireless multi-frequency electrical impedance tomography system. *Arabian Journal for Science and Engineering*, Springer Verlag, v. 44, p. 2305–2320, 3 2019. ISSN 21914281. 15, 17, 21, 25
- SOHAL, H. *et al.* Electrical impedance imaging system using fpgas for flexibility and interoperability. *BioMedical Engineering OnLine*, v. 13, p. 126, 2014. Disponível em: <http://www.biomedical-engineering-online.com/content/13/126>. 21
- TAKA, E. N. Transvarredura por bioimpedância: uma ferramenta para a detecção precoce do câncer de mama em mulheres jovens. 2008. Disponível em: http://www.peb.ufrj.br/teses/Tese0082_2008_12_18.pdf. 24
- VALLAT, R. statistics in python. *Journal of Open Source Software*, The Open Journal, v. 3, p. 1026, 11 2018. 26
- YANG, W. Q.; PENG, L. *Image reconstruction algorithms for electrical capacitance tomography*. 2003. 1-13 p. Disponível em: <http://iopscience.iop.org/0957-0233/14/1/201>. 21, 22, 23

APÊNDICES

APÊNDICE A – CÓDIGO RASPBERRY PI

```

1
2 from PyQt5 import QtCore, QtGui, QtWidgets
3 from EIT.AppTie import Ui_MainWindow
4
5
6 if __name__ == "__main__":
7     import sys
8     app = QtWidgets.QApplication(sys.argv)
9     QMainWindow = QtWidgets.QMainWindow()
10    ui = Ui_MainWindow()
11    ui.setupUi(QMainWindow)
12    QMainWindow.show()
13    sys.exit(app.exec_())

```

```

16
17 from PyQt5 import QtCore, QtGui, QtWidgets
18 from PyQt5.QtWidgets import QMessageBox
19 import numpy
20 import EIT.eit as TIE
21 from EIT import Comunica
22 import time
23 import cv2
24 import csv
25 import threading
26
27
28
29 class Ui_MainWindow(object):
30     def setupUi(self, MainWindow):
31         MainWindow.setObjectName("MainWindow")
32         MainWindow.resize(917, 629)
33         MainWindow.setStyleSheet("background-color: rgb(217, 217, 217);")
34         self.centralwidget = QtWidgets.QWidget(MainWindow)
35         self.centralwidget.setObjectName("centralwidget")
36         self.horizontalLayout_2 = QtWidgets.QHBoxLayout(self.centralwidget)
37         self.horizontalLayout_2.setObjectName("horizontalLayout_2")
38         self.Aplic = QtWidgets.QTabWidget(self.centralwidget)
39         self.Aplic.setContextMenuPolicy(QtCore.Qt.PreventContextMenu)
40         self.Aplic.setAutoFillBackground(False)
41         self.Aplic.setObjectName("Aplic")
42         self.tab = QtWidgets.QWidget()
43         self.tab.setObjectName("tab")
44         self.horizontalLayout = QtWidgets.QHBoxLayout(self.tab)
45         self.horizontalLayout.setObjectName("horizontalLayout")
46         self.groupBox = QtWidgets.QGroupBox(self.tab)
47         self.groupBox.setMinimumSize(QtCore.QSize(350, 0))
48         self.groupBox.setMaximumSize(QtCore.QSize(300, 16777215))
49         self.groupBox.setObjectName("groupBox")
50         self.verticalLayout = QtWidgets.QVBoxLayout(self.groupBox)
51         self.verticalLayout.setObjectName("verticalLayout")
52         self.groupBoxArquivos = QtWidgets.QGroupBox(self.groupBox)

```

```
53     sizePolicy = QtWidgets.QSizePolicy(QtWidgets.QSizePolicy.Fixed, QtWidgets.QSizePolicy.Fixed)
54     sizePolicy.setHorizontalStretch(0)
55     sizePolicy.setVerticalStretch(0)
56     sizePolicy.setHeightForWidth(self.groupBoxArquivos.sizePolicy().hasHeightForWidth())
57     self.groupBoxArquivos.setSizePolicy(sizePolicy)
58     self.groupBoxArquivos.setMinimumSize(QtCore.QSize(300, 200))
59     self.groupBoxArquivos.setMaximumSize(QtCore.QSize(500, 200))
60     self.groupBoxArquivos.setObjectName("groupBoxArquivos")
61     self.formLayout = QtWidgets.QFormLayout(self.groupBoxArquivos)
62     self.formLayout.setObjectName("formLayout")
63     spacerItem = QtWidgets.QSpacerItem(20, 40, QtWidgets.QSizePolicy.Minimum, QtWidgets.QSizePolicy.Expanding)
64     self.formLayout.setItem(0, QtWidgets.QFormLayout.LabelRole, spacerItem)
65     self.Bt_sensibilidade = QtWidgets.QPushButton(self.groupBoxArquivos)
66     self.Bt_sensibilidade.setMinimumSize(QtCore.QSize(120, 0))
67     self.Bt_sensibilidade.setObjectName("Bt_sensibilidade")
68     self.formLayout.addWidget(1, QtWidgets.QFormLayout.LabelRole, self.Bt_sensibilidade)
69     self.Line_sensibilidade = QtWidgets.QLineEdit(self.groupBoxArquivos)
70     self.Line_sensibilidade.setObjectName("Line_sensibilidade")
71     self.formLayout.addWidget(1, QtWidgets.QFormLayout.FieldRole, self.Line_sensibilidade)
72     spacerItem1 = QtWidgets.QSpacerItem(20, 40, QtWidgets.QSizePolicy.Minimum, QtWidgets.QSizePolicy.Expanding)
73     self.formLayout.setItem(2, QtWidgets.QFormLayout.LabelRole, spacerItem1)
74     self.Bt_tense_ref = QtWidgets.QPushButton(self.groupBoxArquivos)
75     self.Bt_tense_ref.setMinimumSize(QtCore.QSize(120, 0))
76     self.Bt_tense_ref.setMaximumSize(QtCore.QSize(200, 16777215))
77     self.Bt_tense_ref.setObjectName("Bt_tense_ref")
78     self.formLayout.addWidget(3, QtWidgets.QFormLayout.LabelRole, self.Bt_tense_ref)
79     self.Line_tense_ref = QtWidgets.QLineEdit(self.groupBoxArquivos)
80     self.Line_tense_ref.setObjectName("Line_tense_ref")
81     self.formLayout.addWidget(3, QtWidgets.QFormLayout.FieldRole, self.Line_tense_ref)
82     spacerItem2 = QtWidgets.QSpacerItem(20, 40, QtWidgets.QSizePolicy.Minimum, QtWidgets.QSizePolicy.Expanding)
83     self.formLayout.setItem(4, QtWidgets.QFormLayout.LabelRole, spacerItem2)
84     self.Bt_medidas = QtWidgets.QPushButton(self.groupBoxArquivos)
85     self.Bt_medidas.setMinimumSize(QtCore.QSize(120, 0))
86     self.Bt_medidas.setObjectName("Bt_medidas")
87     self.formLayout.addWidget(5, QtWidgets.QFormLayout.LabelRole, self.Bt_medidas)
88     self.Line_medida = QtWidgets.QLineEdit(self.groupBoxArquivos)
89     self.Line_medida.setObjectName("Line_medida")
90     self.formLayout.addWidget(5, QtWidgets.QFormLayout.FieldRole, self.Line_medida)
91     spacerItem3 = QtWidgets.QSpacerItem(20, 40, QtWidgets.QSizePolicy.Minimum, QtWidgets.QSizePolicy.Expanding)
92     self.formLayout.setItem(6, QtWidgets.QFormLayout.LabelRole, spacerItem3)
93     self.verticalLayout.addWidget(self.groupBoxArquivos)
94     self.groupBoxMetodo = QtWidgets.QGroupBox(self.groupBox)
95     self.groupBoxMetodo.setObjectName("groupBoxMetodo")
96     self.gridLayout_4 = QtWidgets.QGridLayout(self.groupBoxMetodo)
97     self.gridLayout_4.setObjectName("gridLayout_4")
98     self.radio_landwaber = QtWidgets.QRadioButton(self.groupBoxMetodo)
```

```
99      self.radio_landwaber.setObjectName("radio_landwaber")
100     self.gridLayout_4.addWidget(self.radio_landwaber, 2, 0, 1, 1)
101     self.landIntera = QtWidgets.QSpinBox(self.groupBoxMetodo)
102     self.landIntera.setMaximum(10000)
103     self.landIntera.setObjectName("landIntera")
104     self.gridLayout_4.addWidget(self.landIntera, 2, 1, 1, 1)
105     self.Radio_projeo = QtWidgets.QRadioButton(self.groupBoxMetodo)
106     self.Radio_projeo.setObjectName("Radio_projeo")
107     self.gridLayout_4.addWidget(self.Radio_projeo, 0, 0, 1, 1)
108     self.verticalLayout.addWidget(self.groupBoxMetodo)
109     self.groupBoxReconstru = QtWidgets.QGroupBox(self.groupBox)
110     self.groupBoxReconstru.setObjectName("groupBoxReconstru")
111     self.gridLayout_3 = QtWidgets.QGridLayout(self.groupBoxReconstru)
112     self.gridLayout_3.setObjectName("gridLayout_3")
113     self.Bt_reconstruirImagen = QtWidgets.QPushButton(self.groupBoxReconstru)
114     icon = QtGui.QIcon()
115     icon.addPixmap(QtGui.QPixmap("Img_Eit/ImgTab.png"), QtGui.QIcon.Normal,
116     QtGui.QIcon.Off)
116     self.Bt_reconstruirImagen.setIcon(icon)
117     self.Bt_reconstruirImagen.setObjectName("Bt_reconstruirImagen")
118     self.gridLayout_3.addWidget(self.Bt_reconstruirImagen, 1, 0, 1, 1)
119     self.Bt_capturarImagen = QtWidgets.QPushButton(self.groupBoxReconstru)
120     icon1 = QtGui.QIcon()
121     icon1.addPixmap(QtGui.QPixmap("Img_Eit/ImgRec.png"), QtGui.QIcon.Normal,
122     QtGui.QIcon.Off)
122     self.Bt_capturarImagen.setIcon(icon1)
123     self.Bt_capturarImagen.setObjectName("Bt_capturarImagen")
124     self.gridLayout_3.addWidget(self.Bt_capturarImagen, 2, 0, 1, 1)
125     self.verticalLayout.addWidget(self.groupBoxReconstru)
126     self.line = QtWidgets.QFrame(self.groupBox)
127     self.line.setFrameShape(QtWidgets.QFrame.HLine)
128     self.line.setFrameShadow(QtWidgets.QFrame.Sunken)
129     self.line.setObjectName("line")
130     self.verticalLayout.addWidget(self.line)
131     self.horizontalLayout.addWidget(self.groupBox)
132     self.line_12 = QtWidgets.QFrame(self.tab)
133     self.line_12.setFrameShape(QtWidgets.QFrame.VLine)
134     self.line_12.setFrameShadow(QtWidgets.QFrame.Sunken)
135     self.line_12.setObjectName("line_12")
136     self.horizontalLayout.addWidget(self.line_12)
137     self.groupBox_2 = QtWidgets.QGroupBox(self.tab)
138     sizePolicy = QtWidgets.QSizePolicy(QtWidgets.QSizePolicy.Preferred,
139     QtWidgets.QSizePolicy.MinimumExpanding)
140     sizePolicy.setHorizontalStretch(0)
141     sizePolicy.setVerticalStretch(0)
141     sizePolicy.setHeightForWidth(self.groupBox_2.sizePolicy().hasHeightForWidth
142     ())
142     self.groupBox_2.setSizePolicy(sizePolicy)
143     self.groupBox_2.setMinimumSize(QtCore.QSize(300, 300))
144     self.groupBox_2.setAlignment(QtCore.Qt.AlignCenter)
145     self.groupBox_2.setObjectName("groupBox_2")
146     self.gridLayout = QtWidgets.QGridLayout(self.groupBox_2)
147     self.gridLayout.setObjectName("gridLayout")
148     spacerItem4 = QtWidgets.QSpacerItem(10, 10, QtWidgets.QSizePolicy.Minimum,
148     QtWidgets.QSizePolicy.Minimum)
149     self.gridLayout.addItem(spacerItem4, 2, 1, 1, 1)
150     spacerItem5 = QtWidgets.QSpacerItem(10, 10, QtWidgets.QSizePolicy.Minimum,
150     QtWidgets.QSizePolicy.Minimum)
```

```
151     self.gridLayout.addItem(spacerItem5, 1, 2, 1, 1)
152     spacerItem6 = QtWidgets.QSpacerItem(10, 10, QtWidgets.QSizePolicy.Minimum,
153                                         QtWidgets.QSizePolicy.Minimum)
154     self.gridLayout.addItem(spacerItem6, 1, 0, 1, 1)
155     spacerItem7 = QtWidgets.QSpacerItem(10, 10, QtWidgets.QSizePolicy.Minimum,
156                                         QtWidgets.QSizePolicy.Minimum)
157     self.gridLayout.addItem(spacerItem7, 0, 1, 1, 1)
158     self.Imagem_TIE = QtWidgets.QLabel(self.groupBox_2)
159     self.Imagem_TIE.setContextMenuPolicy(QtCore.Qt.NoContextMenu)
160     self.Imagem_TIE.setPixmap(QtGui.QPixmap("Img_Eit/LogoEit.png"))
161     self.Imagem_TIE.setObjectName("Imagen_TIE")
162     self.gridLayout.addWidget(self.Imagem_TIE, 1, 1, 1, 1)
163     self.horizontalLayout.addWidget(self.groupBox_2)
164     icon2 = QtGui.QIcon()
165     icon2.addPixmap(QtGui.QPixmap("Img_Eit/ImgTab.png"), QtGui.QIcon.Normal,
166                     QtGui.QIcon.Off)
167     self.Aplic.addTab(self.tab, icon2, "")
168     self.tab_2 = QtWidgets.QWidget()
169     self.tab_2.setObjectName("tab_2")
170     self.gridLayout_2 = QtWidgets.QGridLayout(self.tab_2)
171     self.gridLayout_2.setObjectName("gridLayout_2")
172     self.line_11 = QtWidgets.QFrame(self.tab_2)
173     self.line_11.setFrameShape(QtWidgets.QFrame.VLine)
174     self.line_11.setFrameShadow(QtWidgets.QFrame.Sunken)
175     self.line_11.setObjectName("line_11")
176     self.gridLayout_2.addWidget(self.line_11, 1, 2, 1, 1)
177     self.line_9 = QtWidgets.QFrame(self.tab_2)
178     self.line_9.setFrameShape(QtWidgets.QFrame.VLine)
179     self.line_9.setFrameShadow(QtWidgets.QFrame.Sunken)
180     self.line_9.setObjectName("line_9")
181     self.gridLayout_2.addWidget(self.line_9, 1, 0, 1, 1)
182     self.groupBox_3 = QtWidgets.QGroupBox(self.tab_2)
183     self.groupBox_3.setMaximumSize(QtCore.QSize(16777215, 100))
184     self.groupBox_3.setTitle("")
185     self.groupBox_3.setObjectName("groupBox_3")
186     self.gridLayout_5 = QtWidgets.QGridLayout(self.groupBox_3)
187     self.gridLayout_5.setObjectName("gridLayout_5")
188     self.progressBar = QtWidgets.QProgressBar(self.groupBox_3)
189     self.progressBar.setProperty("value", 0)
190     self.progressBar.setObjectName("progressBar")
191     self.gridLayout_5.addWidget(self.progressBar, 0, 0, 1, 1)
192     self.gridLayout_2.addWidget(self.groupBox_3, 3, 1, 1, 1)
193     self.line_2 = QtWidgets.QFrame(self.tab_2)
194     self.line_2.setFrameShape(QtWidgets.QFrame.HLine)
195     self.line_2.setFrameShadow(QtWidgets.QFrame.Sunken)
196     self.line_2.setObjectName("line_2")
197     self.gridLayout_2.addWidget(self.line_2, 2, 1, 1, 1)
198     self.line_6 = QtWidgets.QFrame(self.tab_2)
199     self.line_6.setWindowModality(QtCore.Qt.WindowModal)
200     self.line_6.setFrameShape(QtWidgets.QFrame.HLine)
201     self.line_6.setFrameShadow(QtWidgets.QFrame.Sunken)
202     self.line_6.setObjectName("line_6")
203     self.gridLayout_2.addWidget(self.line_6, 0, 1, 1, 1)
204     self.MedidasTens = QtWidgets.QGroupBox(self.tab_2)
205     self.MedidasTens.setMaximumSize(QtCore.QSize(16777215, 16777215))
```

```
206     self.gridLayout_6.setObjectName("gridLayout_6")
207     self.grupoStatus = QtWidgets.QGroupBox(self.MedidasTens)
208     self.grupoStatus.setLayoutDirection(QtCore.Qt.LeftToRight)
209     self.grupoStatus.setAlignment(QtCore.Qt.AlignCenter)
210     self.grupoStatus.setObjectName("grupoStatus")
211     self.gridLayout_7 = QtWidgets.QGridLayout(self.grupoStatus)
212     self.gridLayout_7.setObjectName("gridLayout_7")
213     spacerItem8 = QtWidgets.QSpacerItem(40, 20, QtWidgets.QSizePolicy.Expanding,
214                                         QtWidgets.QSizePolicy.Minimum)
214     self.gridLayout_7.addItem(spacerItem8, 1, 2, 1, 1)
215     self.Img_status = QtWidgets.QLabel(self.grupoStatus)
216     self.Img_status.setMinimumSize(QtCore.QSize(300, 300))
217     self.Img_status.setText("")
218     self.Img_status.setPixmap(QtGui.QPixmap("Img_Eit/desconhecido.png"))
219     self.Img_status.setObjectName("Img_status")
220     self.gridLayout_7.addWidget(self.Img_status, 1, 1, 1, 1)
221     spacerItem9 = QtWidgets.QSpacerItem(40, 20, QtWidgets.QSizePolicy.Expanding,
222                                         QtWidgets.QSizePolicy.Minimum)
222     self.gridLayout_7.addItem(spacerItem9, 1, 0, 1, 1)
223     spacerItem10 = QtWidgets.QSpacerItem(20, 40, QtWidgets.QSizePolicy.Minimum,
224                                         QtWidgets.QSizePolicy.Expanding)
224     self.gridLayout_7.addItem(spacerItem10, 2, 1, 1, 1)
225     spacerItem11 = QtWidgets.QSpacerItem(20, 40, QtWidgets.QSizePolicy.Minimum,
226                                         QtWidgets.QSizePolicy.Expanding)
226     self.gridLayout_7.addItem(spacerItem11, 0, 1, 1, 1)
227     self.gridLayout_6.addWidget(self.grupoStatus, 1, 1, 5, 1)
228     self.pushButton = QtWidgets.QPushButton(self.MedidasTens)
229     self.pushButton.setMaximumSize(QtCore.QSize(200, 16777215))
230     self.pushButton.setObjectName("pushButton")
231     self.gridLayout_6.addWidget(self.pushButton, 2, 0, 1, 1)
232     self.pushButton_2 = QtWidgets.QPushButton(self.MedidasTens)
233     self.pushButton_2.setMaximumSize(QtCore.QSize(200, 16777215))
234     self.pushButton_2.setObjectName("pushButton_2")
235     self.gridLayout_6.addWidget(self.pushButton_2, 3, 0, 1, 1)
236     spacerItem12 = QtWidgets.QSpacerItem(20, 40, QtWidgets.QSizePolicy.Minimum,
237                                         QtWidgets.QSizePolicy.Expanding)
237     self.gridLayout_6.addItem(spacerItem12, 1, 0, 1, 1)
238     spacerItem13 = QtWidgets.QSpacerItem(20, 40, QtWidgets.QSizePolicy.Minimum,
239                                         QtWidgets.QSizePolicy.Expanding)
239     self.gridLayout_6.addItem(spacerItem13, 4, 0, 1, 1)
240     self.gridLayout_2.addWidget(self.MedidasTens, 1, 1, 1, 1)
241     self.Aplic.addTab(self.tab_2, icon2, "")
242     self.horizontalLayout_2.addWidget(self.Aplic)
243     MainWindow.setCentralWidget(self.centralwidget)
244     self.menuubar = QtWidgets.QMenuBar(MainWindow)
245     self.menuubar.setGeometry(QtCore.QRect(0, 0, 917, 26))
246     self.menuubar.setObjectName("menuubar")
247     MainWindow.setMenuBar(self.menuubar)
248     self.statusbar = QtWidgets.QStatusBar(MainWindow)
249     self.statusbar.setObjectName("statusbar")
250     MainWindow.setStatusBar(self.statusbar)
251     self.retranslateUi(MainWindow)
252     self.Aplic.setCurrentIndex(0)
253     QtCore.QMetaObject.connectSlotsByName(MainWindow)
254
255
256     #Variaveis utilizadas no sistema.
257     self.routeSensibilidade = None
```

```
258     self.routeTenseRef = None
259     self.routeMeasure = None
260     self.imagem = None
261     self.listaLeituras = list()
262
263
264     #set eventos de click
265     self.Bt_sensibilidade.clicked.connect(self.setSensibilidade)
266     self.Bt_medidas.clicked.connect(self.setMeasure)
267     self.Bt_tense_ref.clicked.connect(self.setTenseRef)
268
269     self.Bt_reconstruirImagen.clicked.connect(self.rebuidIMG)
270
271     self.Bt_capturarImagen.clicked.connect(self.saveIMG)
272
273     self.pushButton.clicked.connect(self.saveLeituras)
274
275     self.pushButton_2.clicked.connect(self.realizaAquis)
276
277
278
279
280     #desabilitar botões
281     self.Bt_capturarImagen.setEnabled(False)
282
283     self.pushButton.setEnabled(False)
284
285     self.progressBar.setValue(0)
286
287
288
289     def retranslateUi(self, MainWindow):
290         _translate = QtCore.QCoreApplication.translate
291         MainWindow.setWindowTitle(_translate("MainWindow", "MainWindow"))
292         self.groupBox.setTitle(_translate("MainWindow", "COMANDOS"))
293         self.groupBoxArquivos.setTitle(_translate("MainWindow", "ARQUIVOS DE
CONFIGURAÇÕES"))
294         self.Bt_sensibilidade.setText(_translate("MainWindow", "Sensibilidade"))
295         self.Line_sensibilidade.setText(_translate("MainWindow", ""))
296         self.Bt_tense_ref.setText(_translate("MainWindow", " Referência"))
297         self.Line_tense_ref.setText(_translate("MainWindow", ""))
298         self.Bt_medidas.setText(_translate("MainWindow", "Medidas"))
299         self.Line_medida.setText(_translate("MainWindow", ""))
300         self.groupBoxMetodo.setTitle(_translate("MainWindow", "Método"))
301         self.radio_landwaber.setText(_translate("MainWindow", "LandWeber"))
302         self.Radio_projeo.setText(_translate("MainWindow", "Retroprojeção linear"))
303         self.groupBoxReconstru.setTitle(_translate("MainWindow", "Reconstrução"))
304         self.Bt_reconstruirImagen.setText(_translate("MainWindow", "Reconstruir
imagem"))
305         self.Bt_capturarImagen.setText(_translate("MainWindow", "Capturar Imagem"))
306         self.groupBox_2.setTitle(_translate("MainWindow", "TIE"))
307         self.Aplic.setTabText(self.Aplic.indexOf(self.tab), _translate("MainWindow
", "Reconstrução"))
308         self.MedidasTens.setTitle(_translate("MainWindow", "MEDIÇÕES"))
309         self.grupoStatus.setTitle(_translate("MainWindow", "STATUS DA PLACA DE
AQUISIÇÕES"))
310         self.pushButton.setText(_translate("MainWindow", "Salvar Leitura"))
311         self.pushButton_2.setText(_translate("MainWindow", "Iniciar Aquisições"))
```

```
312         self.Aplic.setTabText(self.Aplic.indexOf(self.tab_2), _translate("MainWindow", "Obter dados"))
313
314
315     def setSensibilidade(self):
316         self.Line_sensibilidade.setText(f"{QtWidgets.QFileDialog.getOpenFileName()[0]}")
317
318
319     def setMeasure(self):
320         self.Line_medida.setText(f"{QtWidgets.QFileDialog.getOpenFileName()[0]}")
321
322
323     def setTenseRef(self):
324         self.Line_tense_ref.setText(f"{QtWidgets.QFileDialog.getOpenFileName()[0]}")
325
326     def saveIMG(self):
327         arquivo = QtWidgets.QFileDialog.getSaveFileName()[0]
328
329         if(arquivo != ""):
330             cv2.imwrite(arquivo + '.png', self.imagem)
331
332
333
334     def rebuid(self):
335         width = self.Imagem_TIE.width()
336         height = self.Imagem_TIE.height()
337
338         if width <= height:
339             height = width
340         else:
341             width = height
342
343         intera = int(self.landIntera.text()) #retorna o valor colocado de interações em landwaber
344
345         imagem = TIE.rebuildImg(width,
346                                 height,
347                                 RouteFilejn=self.Line_sensibilidade.text(),
348                                 RouteFileVobj=self.Line_medida.text(),
349                                 RouteFileVref=self.Line_tense_ref.text(),
350                                 method = self.checkedMethod(),
351                                 intera_LDWBR = intera)
352
353
354
355
356         self.imagem = cv2.cvtColor(imagem, cv2.COLOR_RGB2BGR)
357         imagem = QtGui.QImage(imagem,width,height,imagem.strides[0],QtGui.QImage.Format_RGB888) # reformula o vetor de imagem para aparecer na interface visual
358
359
360
361         self.Imagem_TIE.setPixmap(QtGui.QPixmap.fromImage(imagem))
362
363         self.Bt_capturarImagem.setEnabled(True)
364         self.Bt_reconstruirImagem.setEnabled(True)
```

```
365
366
367     def rebuidIMG(self):
368
369         if(self.activeRebuidImg()):
370             self.Bt_reconstruirImagen.setEnabled(False)
371             threa = threading.Thread(target = self.rebuid)
372             threa.start()
373
374
375     def activeRebuidImg(self):
376
377         if self.existsRouteSensebilidade():
378             QMessageBox.about(self.centralwidget,"ERRO","Sem arquivo sensibilidade")
379             return False
380
381         if self.existRouteMeasure():
382             QMessageBox.about(self.centralwidget,"ERRO","Sem arquivo de Medidas")
383             return False
384
385
386         if self.existRouteVref():
387             QMessageBox.about(self.centralwidget,"ERRO","Sem arquivo de Tensão referênci")
388             return False
389
390         if self.existRadioMethod():
391             QMessageBox.about(self.centralwidget,"ERRO","Escolha entre um dos modelos")
392             return False
393
394         if self.checkInteraLandweber():
395             QMessageBox.about(self.centralwidget,"ERRO","Valor de interações deve ser maior que zero")
396             return False
397         return True
398
399
400     def existsRouteSensebilidade(self):
401         return (self.Line_sensibilidade.text() == "")
402
403
404     def existRouteMeasure(self):
405         return (self.Line_medida.text() == "")
406
407
408     def existRouteVref(self):
409         return (self.Line_tense_ref.text() == "")
410
411
412     def existRadioMethod(self):
413         return not (self.radio_landwaber.isChecked() or self.Radio_projeo.isChecked())
414
415
416     def checkInteraLandweber(self):
417         return (self.landIntera.text() == '0')
```

```
418
419
420     def checkedMethod(self):
421
422         if self.radio_landwaber.isChecked():
423             return "LDWBR"
424         if self.Radio_projeo.isChecked():
425             return "RPLIN"
426
427
428     def realizaAquis(self):
429         self.progressBar.setValue(0)
430         self.Img_status.setPixmap(QtGui.QPixmap("Img_Eit/conectado.png"))
431         threa = threading.Thread(target = self.aquisiSPI)
432         threa.start()
433
434
435     def saveLeituras(self):
436         route = QtWidgets.QFileDialog.getSaveFileName()[0]
437
438         if(route != ""):
439             with open(route +'.csv', 'w') as f:
440                 w = csv.writer(f)
441
442                 w.writerow(self.listaLeituras)
443
444                 f.close()
445                 self.listaLeituras = []
446                 self.pushButton.setEnabled(False)
447                 self.progressBar.setValue(0)
448
449
450
451
452     def aquisiSPI(self):
453         self.pushButton_2.setEnabled(False)
454         arduinoSPI = Comunica.ComunicaSPI()
455         arduinoSPI.initSPI()
456
457         valor = 0
458
459
460         numero= 0
461
462         for PrimeiroEmissor in range(0,16):
463
464             if(PrimeiroEmissor == 15):
465                 SegundoEmissor = 0
466             else:
467                 SegundoEmissor = PrimeiroEmissor + 1
468
469
470             if(arduinoSPI.correntePin(PrimeiroEmissor,SegundoEmissor)):
471
472                 time.sleep(0.1)
473
474                 for Leituras in range(1,14):
475                     PrimeiroEletrodoTensao = SegundoEmissor + Leituras
```

```

476
477             if(PrimeiroEletrodoTensao>14):
478                 PrimeiroEletrodoTensao = PrimeiroEletrodoTensao - 15
479
480                 SegundoEletrodoTensao = PrimeiroEletrodoTensao + 1
481
482             if(arduinoSPI.tensePin(PrimeiroEletrodoTensao,
483             SegundoEletrodoTensao)):
484                 arduinoSPI.ativaLeituras()
485                 valor = arduinoSPI.Leitura()
486                 self.listaLeituras.append(valor)
487
488                 numero += 1
489                 progresso = int(numero*100/208)
490                 self.progressBar.setValue(progresso)
491                 time.sleep(0.1)
492
493             if(len(self.listaLeituras)>=208):
494                 self.pushButton.setEnabled(True)
495                 self.pushButton_2.setEnabled(True)
496                 self.Img_status.setPixmap(QtGui.QPixmap("Img_Eit/desconectado.png"))
497

```

```

498
499 import csv
500 from turtle import st
501 from typing import ValuesView
502 import numpy
503 import cv2
504 import csv
505
506
507
508 def color_normalized(valor_normalized:float):
509     """
510     valor_normalized:float
511
512     Ao entrar com um valor normalizado, de 0 a 1, a função retorna uma lista com
513     valores RGB
514     sendo que na lista retorna os valores de (RED, GREEN, BLUE)
515
516     if valor_normalized > 0.55 and valor_normalized <= 1.0:
517         red = 255
518         gree = ((1 - valor_normalized)/(1- 0.55))*255
519         blue = 0
520         return [int(red),int(gree),int(blue)]
521     elif valor_normalized > 0.45 and valor_normalized<= 0.55:
522         red = ((valor_normalized - 0.45)/(0.55 - 0.45))*255
523         gree = 255
524         blue = ((0.55 - valor_normalized)/(0.55 - 0.45))*255
525         return [int(red),int(gree),int(blue)]
526     elif valor_normalized >= 0 and valor_normalized<= 0.45:

```

```
527     red = 0
528     gree = (valor_normalized/0.45)*255
529     blue = 255
530     return [int(red),int(gree),int(blue)]
531 else:
532     return [0,0,0]
533
534
535
536
537
538 def color_triangles_normalized( *args):
539     '''
540     args:list
541
542     Entre com um vetor normalizado (valores de 0 a 1) para obter a lista de lista
543     com as cores.
544
545     '''
546     color_list = list()
547
548     max_value = float(max(args[0]))
549     min_value = float(min(args[0]))
550
551     valores_imagem = list()
552
553     if len(args) > 1:
554         return []
555     for normalized_valor in args[0]:
556
557         valor = float(normalizedValue(float(normalized_valor),min_value,max_value))
558         valores_imagem.append(valor)
559         color_list.append(color_normalized(valor))
560
561     with open('/home/pi/Desktop/matrixImagen.csv', 'w') as f:
562         w = csv.writer(f)
563         w.writerow(valores_imagem)
564         f.close()
565     return color_list
566
567
568 def normalizedValue(value,min_value,max_value):
569     '''
570     diff = float(max_value) - float(min_value)
571     ret = (value - min_value)/diff
572     return ret
573
574
575
576 def open_csv(*args):
577     '''
578     args:list
579
580     entrada de uma lista com o caminho para a pasta desejada com as informações.
581     a lista deve contar com o caminho do arquivo em formator de string separado
582     por virgulas
583     '''
```

```
584     #route = os.path.join(os.getcwd(),args[0])
585     route = args[0]
586     with open(f"{route}",'r') as points:
587         reader_points = list(csv.reader(points, delimiter=';', quoting= csv.
588         QUOTE_NONNUMERIC))
589     return reader_points
590
591 def shapes_points(step:int = 3,width_window:int = 400,
592                   height_window:int = 400,points_shapes:list = []):
593     """
594     step:int
595     width_window:int
596     height_window:int
597     points_shapes:list
598
599     Gerador de lista com os pontos de cada conjunto de poligonos desejados sendo
600     que no minimo
601     para formar um poligono é necessario 3 pontos.
602     """
603
604     #Separar em uma lista de++ tuplas onde cada tupla recebera outras 3 tuplas
605     #sendo que representarão um dos vetices dos triangulos
606     range_points = range(0,len(points_shapes))
607     shape_list_points = list()
608
609     for i in range_points[::-step]:
610
611         #lista de repasse para a lista principal que sera acessada e realizara a
612         #reconstrução da imagem
613         lista_repas = list()
614
615         #laço de repetição para a criação das tupla interna a lista de repas
616         for p in range(0,step):
617             #calculo realizado para da posição do novo ponto, levando em consideração
618             #o tamanho da tela criada
619             lista_repas.append((int(points_shapes[i+p][0]*width_window/2+
620             width_window/2),
621                               int(points_shapes[i+p][1]*height_window/2+
622             height_window/2)))
623
624         #Adicionando na lista principal a tupla de posições com os vertices do
625         #triangulo
626         shape_list_points.append(lista_repas)
627
628
629     return shape_list_points
630
631
632 def retVobj(lista1,lista2):
633     retorno = list()
634
635     if(len(lista1)==len(lista2)):
636         for i in range(0,len(lista1)):
```

```
634         retorno.append(((lista1[i]-lista2[i])/lista1[i]))
635
636     with open('/home/pi/Desktop/matrixDifere.csv', 'w') as f:
637         w = csv.writer(f)
638         w.writerow(retorno)
639         f.close()
640
641     return retorno
642
643
644
645 def projeLiner(Sensibilidade:list = [],Vobj:list = [],Vref:list = []):
646     """
647     Realiza o calculo por meio do metodo retroprojeção linear
648
649     Args:
650         Sensibilidade (list): matriz sensibilidade
651         Vobj (list): Matriz com os valores de medições das variações de tensão
652         Vref (list): Matriz com os valores de tensão referência
653
654     Returns:
655         list: Matriz resultado
656     """
657
658     Vobj = numpy.array(Vobj).T
659     Vref = numpy.array(Vref).T
660
661     Lamb = retVobj(Vref,Vobj)
662     matrix_Lamb = numpy.array(Lamb)
663     matrix_S = numpy.array(Sensibilidade)
664     matrix_St = matrix_S.T
665
666     Gk = matrix_St.dot(matrix_Lamb)
667
668     return list(Gk)
669
670 def landweber(Sensibilidade:list = [],Vobj:list = [],Vref:list = [],intera:int = 0):
671     """
672     Realiza o calculo por meio do metodo interativo de LandWaber
673
674     Args:
675         Sensibilidade (list): matriz sensibilidade
676         Vobj (list): Matriz com os valores de medições das variações de tensão
677         Vref (list): Matriz com os valores de tensão referência
678         intera (int): Número de interações que será realizado no metodo de
679             LandWaber
680
681     Returns:
682         list: Matriz resultado da interação de LandWaber
683     """
684     Vobj = numpy.array(Vobj).T
685     Vref = numpy.array(Vref).T
686
687     Lamb = retVobj(Vref,Vobj)
688     #Lamb = numpy.array(((Vobj-Vref)/Vref))
689     matrix_Lamb = numpy.array(Lamb)
690     matrix_S = numpy.array(Sensibilidade)
691     matrix_St = matrix_S.T
```

```
691
692     #StS = matrix_St.dot(matrix_S)
693     #autovalor,autovetores = numpy.linalg.eig(StS)
694
695
696     #max_auto = max(autovalor)
697
698     #Gk = matrix_St.dot(matrix_Lamb)
699     Gk = numpy.zeros((1024,1))
700
701     #mi = 2/(max_auto.real)
702     mi = 1.5926
703
704     listaR = list()
705     r = matrix_Lamb-matrix_S.dot(Gk)
706
707     quantidade = 0
708
709     while(quantidade<intera):
710
711         quantidade += 1
712
713         Go = Gk + mi*matrix_St @ r
714
715         Go = numpy.array(convergeF(Go))
716
717         r = matrix_Lamb-matrix_S @ Go
718
719         Gk = Go
720
721
722     return list(Gk)
723
724
725 def convergeF(lista:list = []):
726     for i,argumento in enumerate(lista):
727         if(argumento<0):
728             lista[i] = 0
729
730         elif(argumento>1):
731             lista[i] = 1
732
733     return lista
734
735
736 def rebuildImg(Rwidth:int = 500,
737                 Rheight:int = 500,
738                 RouteFileVobj:str = '',
739                 RouteFileVref:str = '',
740                 RouteFilejn:str = '',
741                 method:str = '',
742                 intera_LDWBR:int = 0):
743
744     imagem = numpy.zeros((Rwidth,Rheight,3), numpy.uint8)
745
746     point_list = open_csv('Cord.csv')
747     shapes = shapes_points(step=3, width_window = Rwidth,height_window= Rheight,
748                           points_shapes= point_list)
```

```

748 color = list()
749
750 Vref = open_csv(RouteFileVref)
751
752 jn = open_csv(RouteFilejn)
753
754 Vobj = open_csv(RouteFileVobj)
755
756 if method == "LDWBR":
757     total = landweber(jn,Vobj,Vref,intera_LDWBR)
758 if method == "RPLIN":
759     total = projeLiner(jn,Vobj,Vref)
760
761
762
763 color = color_triangles_normalized(total)
764
765 for i in range(0,len(shapes)):
766     pts = numpy.array(shapes[i],numpy.int32)
767     cv2.fillConvexPoly(imagem,pts,color[i])
768
769 return imagem

```

```

771 from cmath import pi
772 import re
773 import spidev
774 import RPi.GPIO as GPIO
775 import time
776 import csv
777
778
779 class ComunicaSPI:
780     def initSPI(self):
781         self.spi = spidev.SpiDev(0,0) # conectar a interface /dev/spidev0.1
782         self.spi.max_speed_hz = 250000
783
784
785     def tensePin(self,pinoA,pinoB):
786         """
787             Seta e confere se os pinos de tensão setados estão corretos.
788
789             Args
790                 pinoA: Pino de medição
791                 pinoB: Pino de referencia
792             Returns
793                 bool: retorna de verdadeiro se consegui realializar e setar o pino de
794                     tensão
795
796         """
797         pino = int(self.concatenaPins(int(pinoA),int(pinoB)))
798         self.setPinTense(pino)
799         numberIntera = 0
800         while ((self.getPinTense() != pino) and (numberIntera < 50)):
801             self.setPinTense(pinTense = pino)

```

```
801         numberIntera += 1
802         time.sleep(0.1)
803
804     if numberIntera >= 50:
805         return False
806
807     return True
808
809
810 def correntePin(self,pinoA:int,pinoB:int):
811     """
812     Seta e confere se os pinos de corrente setados estão corretos.
813
814     Args
815         pinoA: Pino de emissão
816         pinoB: Pino de entrada
817
818     Returns
819         bool: retorna de verdadeiro se conseguiu realializar e setar o pino de
820         corrente
821
822     """
823     pino = int(self.concatenaPins(pinoA,pinoB))
824     self.setPinCorrente(pino)
825     numberIntera = 0
826     while ((self.getPinCorrente() != pino) and (numberIntera < 50)):
827         self.spi.writebytes([0x00])
828         self.setPinCorrente(pino)
829         numberIntera += 1
830         time.sleep(0.1)
831
832     if numberIntera >= 50:
833         return False
834
835
836
837 def ativaLeituras(self):
838     self.spi.writebytes([0xAA])
839
840
841 def Leitura(self):
842     self.spi.writebytes([0xCC])
843     while(self.spi.readbytes(1)[0] != 0xDD):
844         time.sleep(0.5)
845         self.spi.writebytes([0x00])
846         self.spi.writebytes([0xCC])
847     valor = self.getLeitura()
848     return valor
849
850
851
852
853
854 def concatenaPins(self,firstPin,secondPin):
855     """
856     Args
857         firstPin: Pino A
```

```
858         secondPin: Pino B
859     Returns
860         str: retorna de forma concatenada o valor em hexadecimal dos dois
861         valores sendo 0X(firstPin)(secondPin)
862         """
863         return str((firstPin <<4) + secondPin)
864
865     def setPinTense(self,pinTense:int):
866         self.spi.writebytes([0x22,pinTense]) #Seta o pino de tensão com o valor hex
867         pinTense com o comando 0x22
868
869     def setPinCorrente(self,pinCorrente:int):
870         self.spi.writebytes([0x11,pinCorrente])#Seta o pino de Corrente com o valor
871         hex pinCorrente com o comando 0x11
872
873     def getPinTense(self):
874         """
875         Retorna o eletrodo de leitura de tensão es carregado no arduino, lembrando
876         que esse valor sera numerico mas
877         sera preciso de sua forma hexdecimal para compreender qual eletrodo esta
878         setado.
879
880         Args:
881
882         Return:
883             str: Valor em hexadecimal dos pinos de tensão
884             """
885
886         self.spi.writebytes([0x55])
887         return self.spi.readbytes(1)[0]
888
889     def getPinCorrente(self):
890         """
891         Retorna o eletrodo de corrente carregado no arduino, lembrando que esse
892         valor sera numerico mas sera preciso
893         de sua forma hexdecimal para compreender qual eletrodo esta setado.
894
895         Args:
896
897         Return:
898             str: Valor em hexadecimal dos pinos de tensão
899             """
900
901
902     def getLeitura(self):
903
904         leitura = 0
905
906         self.spi.writebytes([0x99])
907         time.sleep(0.1)
908         leitura1 = self.spi.readbytes(1)
```

```
910  
911     leitura2 = self.spi.readbytes(1)  
912  
913  
914     leitura = int((leitura2[0] << 8)+ leitura1[0])  
915     return leitura
```

APÊNDICE B – CÓDIGO ARDUINO

```

919
920
921 #include "eit.h"
922
923 /*
924 * Código de comunicação e comutação entre eletrodos utilizando SPI
925 *
926 * MISO -> nativo do arduino due
927 * MOSI -> Nativo do arduino due
928 * SCK -> nativo do arduino due
929 * SS -> pino 10 do arduino due
930 *
931 */
932
933
934
935 //-----Definições-----
936
937 #define dataOk 3
938
939 int stepPin = 3;
940
941 int initPin = 23;
942
943 int finalPin = 53;
944
945 int tensao = 0;
946
947
948 //-----Definirescolpo de funções-----
949
950 //config
951
952
953 //func
954 void configPinDigital(int inicialPin = 0,int finalPin = 0, int stepPin = 0, bool
955 mode = false);
955 void digitalWritePinEIT();
956 byte find_Action(byte receive);
957 byte interpretAction(byte action,int receive);
958 int tens();
959
960
961 //convert
962 int convertHexToInt();
963 String ValueIntVectByte();
964
965
966
967 //-----variaveis globais-----
968
969 bool flag=false;
970 bool flagDataComplete = false;
971
972 uint16_t DataReceived;

```

```
973 uint16_t data;
974
975 uint16_t eletrodoEmissor;
976 uint16_t eletrodoLeitor;
977
978 enum NexAction {SetZero, SetWriteEIT, SetReadEIT, SetReLoadRaspberry};
979
980 byte DataReceivedIndex = 0;
981
982 eit_eletrodo eletrodos(23,53,2);
983
984 void setup() {
985     Serial.begin(9600);
986     while(!Serial);
987     //SPI serial recieve
988     REG_PMC_PCERO |= PMC_PCERO_PID24;    // Power up SPI clock
989     REG_SPIO_WPMR = 0<<SPI_WPMR_WPEN;    //Unlock user interface for SPI
990
991     //Instance SPI0, MISO: PA25, (MISO), MOSI: PA26, (MOSI), SCLK: PA27, (SCLK), NSS:
992     //PA28, (NPCSO)
993     REG PIOA_ABSR &= ~PIO_ABSR_P25;        // Transfer Pin control from PIO to SPI
994     REG PIOA_PDR |= PIO_PDR_P25;           // disable pio to control this pin (MISO)
995
996     REG PIOA_ABSR &= ~PIO_ABSR_P26;        // Transfer Pin control from PIO to SPI
997     REG PIOA_PDR |= PIO_PDR_P26;           // disable pio to control this pin (MOSI)
998
999     REG PIOA_ABSR &= ~PIO_ABSR_P27;        // Transfer Pin control from PIO to SPI
1000    REG PIOA_PDR |= PIO_PDR_P27;           // disable pio to control this pin (SCLK)
1001
1002    REG PIOA_ABSR &= ~PIO_ABSR_P28;        // Transfer Pin control from PIO to SPI
1003    REG PIOA_PDR |= PIO_PDR_P28;           // disable pio to control this pin (NSS)
1004
1005    REG_SPIO_CR = 1;                      // Enable SPI
1006    REG_SPIO_MR = 0;                      // Slave mode
1007
1008    SPI0->SPI_IER = SPI_IER_RDRF;        // Receive Data Register Full Interrupt
1009    NVIC_EnableIRQ(SPI0_IRQn);
1010
1011    SPI0->SPI_CSR[0] = SPI_CSR_NCPHA|SPI_CSR_BITS_8_BIT; // Shift on falling edge
1012    // and transfer 8 bits. SPI_CSR_BITS_16_BIT SPI_CSR_BITS_8_BIT
1013    pinMode(3,INPUT); // Seta o pino 3 como sendo o chip select do SPI
1014
1015    Serial.println("START");
1016
1017 }
1018
1019
1020
1021 bool flagData = false;
1022 bool flagReturn = false;
1023 bool flagEletrodoCorrente = false;
1024 bool flagEletrodoLeitorTensao = false;
1025 bool flagExecutar = false;
1026 bool flagReturnValueEletrodoTense = false;
1027 bool flagReturnValueEletrodoCorrent = false;
1028 bool flagReturnValueEletrodotens = false;
```

```
1029 bool leituraAnalogica = false;
1030 bool flagEnvioDeDadosOk = false;
1031 bool flagEnvioDeDados = false;
1032 bool flagAtivarLeituras = false;
1033 bool flagParteDoDado = false;
1034 bool flagReceberEletrodoTensao = false;
1035
1036 byte contador = 0;
1037
1038 int emissor;
1039
1040 byte action = 0; //Seleção de qual comanda sera executado na proximo envio ou
1041 //leitura;
1042
1043
1044 void SPI0_Handler()
1045 {
1046     uint32_t status = SPI0->SPI_SR;
1047
1048
1049     if (status & SPI_SR_RDRF & !flagParteDoDado){
1050
1051         DataReceived = SPI0->SPI_RDR & SPI_RDR_RD_Msk;
1052
1053         if(DataReceived){
1054
1055             if(flagEletrodoCorrente){
1056                 setWritePins(DataReceived);
1057                 flagEletrodoCorrente = false;
1058             }
1059             else if(flagReceberEletrodoTensao){
1060                 setReadTens(DataReceived);
1061                 flagReceberEletrodoTensao = false;
1062             }
1063             else if(DataReceived == 0x11 & !flagEletrodoCorrente){
1064
1065                 flagEletrodoCorrente = true;
1066             }
1067             else if(DataReceived == 0x22 & !flagReceberEletrodoTensao){
1068                 flagReceberEletrodoTensao = true;
1069             }
1070             else if(DataReceived == 0x33){
1071                 flagReturn = true;
1072             }
1073             else if(DataReceived == 0x44){
1074                 flagReturnValueEletrodoCorrent = true;
1075             }
1076             else if(DataReceived == 0x55){
1077                 flagReturnValueEletrodotens = true;
1078             }
1079             else if(DataReceived == 0xAA){
1080                 leituraAnalogica = true;
1081             }
1082             else if(DataReceived == 0xCC){
1083                 flagEnvioDeDadosOk = true;
1084             }
1085             else if(DataReceived == 0xEE){
```

```
1086     flagAtivarLeituras = true;
1087 }
1088 else if(DataReceived == 0X99){
1089     flagParteDoDado = true;
1090 }
1091 else if(DataReceived){
1092     data = DataReceived;
1093 }
1094 }
1095 }
1096 }
1097 if (status & SPI_SR_TDRE){
1098
1099 if(flagReturn){
1100     SPI0->SPI_TDR = data & SPI_RDR_RD_Msk;
1101     flagReturn = false;
1102 }
1103 else if(flagReturnValueEletrodoCorrente){
1104     SPI0->SPI_TDR = eletrodos.getValorEmissorCorrente();
1105     flagReturnValueEletrodoCorrente = false;
1106 }
1107 else if(flagReturnValueEletrodotens){
1108     SPI0->SPI_TDR = eletrodos.getValorLeituraTens();
1109     flagReturnValueEletrodotens = false;
1110 }
1111 else if(flagEnvioDeDadosOk){
1112     if(flagEnvioDeDados){
1113         SPI0->SPI_TDR = 0xDD;
1114     }
1115     else{
1116         SPI0->SPI_TDR = 0xBB;
1117     }
1118     flagEnvioDeDadosOk = false;
1119 }
1120 else if (flagParteDoDado){
1121     if(contador == 0){
1122         SPI0->SPI_TDR = tensao & 0b0000000011111111;
1123
1124         contador++;
1125     }
1126     else if(contador == 1){
1127         SPI0->SPI_TDR = tensao >> 8;
1128         contador++;
1129     }
1130     else if(contador == 2){
1131         contador = 0;
1132         tensao = 0;
1133         flagParteDoDado = false;
1134         flagEnvioDeDados = false;
1135     }
1136 }
1137 }
1138 }
1139 }
1140 }
1141 }
1142 byte indice = 0;
```

```
1144
1145 void loop() {
1146
1147     if(leituraAnalogica & !flagEnvioDeDados){
1148         eletrodos.writeData();
1149
1150         delayMicroseconds(500);
1151         analogReadResolution(12);
1152         for(int p = 0; p<100;p++){
1153             tensao = tensao + analogRead(5);
1154             Serial.println(tensao);
1155         }
1156
1157         tensao = tensao/100;
1158         delayMicroseconds(200);
1159         flagEnvioDeDados = true;
1160         leituraAnalogica = false;
1161     }
1162 }
1163
1164
1165
1166 //----- funções -----
1167
1168 void setWritePins(int WritePins){
1169     eletrodos.setEmissorCorrente(WritePins);
1170 }
1171
1172 void setReadTens(int WritePins){
1173     eletrodos.setLeituraTens(WritePins);
1174 }
```

```
1176
1177 #include "Arduino.h"
1178 #include "eit.h"
1179
1180 eit_eletrodo::eit_eletrodo(int pinInit,int pinFinal,int stepPin)
1181 {
1182     // define os pinos de saída do arduino due como output;
1183     for(int i = pinInit; i<=pinFinal ;i+=stepPin){
1184         pinMode(i,OUTPUT);
1185         digitalWrite(i,LOW);
1186     }
1187 }
1188
1189 void eit_eletrodo::writeData(){
1190     // set os pinos dos multiplexadores
1191
1192     writeMultiPlex(_pin_emissor_corrente.saida,23,29);
1193     writeMultiPlex(_pin_emissor_corrente.entrada,31,37);
1194     writeMultiPlex(_pin_leitura_tensao.saida,39,45);
1195     writeMultiPlex(_pin_leitura_tensao.entrada,47,53);
1196
1197 }
```

```
1198  
1199  
1200 void eit_eletrodo::writeMultiPlex(byte values,byte initPin,byte finalPin){  
1201 // Seta os pinos do multiplexador  
1202 String setPin = String(values,BIN);  
1203 byte i = 0;  
1204 for(int pin = initPin; pin <= initPin +(finalPin - initPin) ;pin+=2){  
1205 if(digitalRead(pin) != setPin[i]){  
1206 if(setPin[i] == '0'){  
1207 digitalWrite(pin,LOW);  
1208 }  
1209 else{  
1210 digitalWrite(pin,HIGH);  
1211 }  
1212 }  
1213 i+=1;  
1214 }  
1215 }  
1216 }  
1217 }  
1218 //-----Set variaveis-----  
1219 void eit_eletrodo::setPinEmissorCorrenteSaida(byte pin_emissor_corrente_saida){  
1220 _pin_emissor_corrente_saida = pin_emissor_corrente_saida;  
1221 }  
1222  
1223 void eit_eletrodo::setPinEmissorCorrenteEntrada(byte pin_emissor_corrente_entrada){  
1224 _pin_emissor_corrente_entrada = pin_emissor_corrente_entrada;  
1225 }  
1226  
1227 void eit_eletrodo::setPinLeitorTensao(byte pin_leitor_tensao){  
1228 _pin_leitor_tensao = pin_leitor_tensao;  
1229 }  
1230  
1231 void eit_eletrodo::setPinLeitorTensaoReferencia(byte pin_leitor_tensao_referencia){  
1232 _pin_leitor_tensao_referencia = pin_leitor_tensao_referencia;  
1233 }  
1234  
1235 void eit_eletrodo::setEmissorCorrente(int eletrodosEmissoresCorrente){  
1236 //Salva os eletros responsaveis por efetuar injetar corrente no sistemas  
1237 _pin_emissor_corrente.valor_salvo = eletrodosEmissoresCorrente;  
1238 _pin_emissor_corrente.saida = (eletrodosEmissoresCorrente >> 4);  
1239 _pin_emissor_corrente.entrada = (eletrodosEmissoresCorrente & 0b00001111);  
1240  
1241 }  
1242 }  
1243  
1244 void eit_eletrodo::setLeituraTens(int eletrodosLeitorTensao){  
1245 //Salva os eletros responsaveis por efetuar a leitura da variação de tensão  
1246 _pin_leitura_tensao.valor_salvo = eletrodosLeitorTensao;  
1247 _pin_leitura_tensao.saida = (eletrodosLeitorTensao >> 4);  
1248 _pin_leitura_tensao.entrada = (eletrodosLeitorTensao & 0b00001111);  
1249 }  
1250  
1251  
1252 //-----Get variaveis-----  
1253  
1254  
1255
```

```
1256 int eit_eletrodo::getValorLeituraTens(){
1257     return _pin_leitura_tensao.valor_salvo;
1258 }
1259
1260 int eit_eletrodo::getValorEmissorCorrente(){
1261     return _pin_emissor_corrente.valor_salvo;
1262 }
1263
1264 byte eit_eletrodo::getPinEmissorCorrenteSaida(){
1265     return _pin_emissor_corrente_saida;
1266 }
1267
1268 byte eit_eletrodo::getPinEmissorCorrenteEntrada(){
1269     return _pin_emissor_corrente_entrada;
1270 }
1271
1272 byte eit_eletrodo::getPinLeitorTensao(){
1273     return _pin_leitor_tensao;
1274 }
1275
1276 byte eit_eletrodo::getPinLeitorTensaoReferencia(){
1277     return _pin_leitor_tensao_referencia;
1278 }
```

```
1280
1281 #ifndef eit_eletrodo_H
1282 #define eit_eletrodo_H
1283
1284 #include "Arduino.h"
1285
1286 struct pinosAtivos{
1287     int valor_salvo;
1288     byte saida;
1289     byte entrada;
1290 };
1291
1292
1293 class eit_eletrodo
1294 {
1295     public:
1296         eit_eletrodo(int pinInit,int pinFinal,int stepPin);
1297
1298         //Metodos
1299
1300         void writeData();
1301         void writeMultiPlex(byte values,byte initPin,byte finalPin);
1302
1303         // Set variaveis
1304         void setPinEmissorCorrenteSaida(byte pin_emissor_corrente_saida);
1305         void setPinEmissorCorrenteEntrada(byte pin_emissor_corrente_entrada);
1306         void setPinLeitorTensao(byte pin_leitor_tensao);
1307         void setPinLeitorTensaoReferencia(byte pin_leitor_tensao_referencia);
1308
1309         void setEmissorCorrente(int eletrodosEmissoresCorrente);
```

```
1310     void setLeituraTens(int eletrodosLeitorTensao);  
1311  
1312     //Get Variaveis  
1313  
1314     int getValorLeituraTens();  
1315     int getValorEmissorCorrente();  
1316  
1317     byte getPinEmissorCorrenteSaida();  
1318     byte getPinEmissorCorrenteEntrada();  
1319     byte getPinLeitorTensao();  
1320     byte getPinLeitorTensaoReferencia();  
1321  
1322  
1323     private:  
1324  
1325  
1326  
1327     byte _pin_emissor_corrente_saida;  
1328     byte _pin_emissor_corrente_entrada;  
1329     byte _pin_leitor_tensao;  
1330     byte _pin_leitor_tensao_referencia;  
1331  
1332     pinosAtivos _pin_emissor_corrente;  
1333     pinosAtivos _pin_leitura_tensao;  
1334  
1335  
1336 };  
1337  
1338 #endif
```

```
1340     import spidev  
1341 import RPi.GPIO as GPIO  
1342 import time  
1343 import csv  
1344 spi = spidev.SpiDev(0, 0) # create spi object connecting to /dev/spidev0.1  
1345 spi.max_speed_hz = 250000 # set speed to 250 KHz  
1346  
1347  
1348  
1349 leituras = list()  
1350  
1351 for emissroCorrente in range(0,16):  
1352  
1353     if(emissroCorrente==15):  
1354         emissroCorrente2 = 0  
1355     else:  
1356         emissroCorrente2 = emissroCorrente + 1  
1357  
1358     print("Corrente")  
1359     print(f"{emissroCorrente} {emissroCorrente2}")  
1360  
1361     corrente = (emissroCorrente << 4) + emissroCorrente2  
1362  
1363     spi.writebytes([0x11,corrente ]) # write one by
```

```
1364     spi.writebytes([0x44])
1365     while((spi.readbytes(1)[0]) != corrente):
1366         spi.writebytes([0x00,0x00])
1367         spi.writebytes([0x11,corrente])
1368         spi.writebytes([0x44])
1369
1370     time.sleep(0.1)
1371
1372
1373
1374     for i in range(1,14):
1375
1376         emissor = emissorCorrente2 + i
1377         if (emissor>14):
1378             emissor = emissor - 15
1379
1380         emissor2 = emissor + 1
1381
1382         emissores = (emissor << 4) + emissor2
1383
1384         spi.writebytes([0x22,emissores]) # write one byte
1385         spi.writebytes([0x55])
1386         while((spi.readbytes(1)[0]) != emissores):
1387             spi.writebytes([0x00,0x00])
1388             spi.writebytes([0x22,emissores])
1389             spi.writebytes([0x55])
1390
1391         time.sleep(0.5)
1392         spi.writebytes([0xAA])
1393         ##spi.writebytes([0xFF,0xFE]) # write one byte
1394         spi.writebytes([0xCC])
1395         valor = spi.readbytes(1)
1396
1397         while(valor[0] != 0xDD):
1398
1399             spi.writebytes([0xCC])
1400             valor = spi.readbytes(1)
1401             time.sleep(1)
1402
1403             spi.writebytes([0x99])
1404             values = spi.readbytes(1)
1405             values2 = spi.readbytes(1)
1406             values = (values2[0] << 8) + values[0]
1407
1408             leituras.append(values)
1409
1410             print(values)
1411
1412
1413
1414 with open('leituras.csv', 'w') as f:
1415
1416     w = csv.writer(f)
1417
1418     w.writerow(leituras)
1419
1420     f.close()
1421
```

```
1422 print(leituras)
1423 print(len(leituras))
1424 """
1425 """
```

ANEXOS